

15/81

1ex

ECOLE NATIONALE POLYTECHNIQUE

DEPARTEMENT GÉNIE CHIMIQUE

## PROJET DE FIN D'ETUDES

**SUJET:** Distribution des Temps de Séjour dans:  
— un Réacteur Agité Continu.  
— un Réacteur Tubulaire.  
.. Application à une Réaction du 2<sup>nd</sup> Ordre

Promoteur: M<sup>elle</sup> BENSMAILI.H.

Etudiant: MOUHAB  
nordinne.

ANNEE:

ECOLE NATIONALE POLYTECHNIQUE

DEPARTEMENT GÉNIE CHIMIQUE

# PROJET DE FIN D'ETUDES

**SUJET:** Distribution des Temps de Séjour dans:

- un Réacteur Agité Continu
- un Réacteur Tubulaire

„Application à une Réaction du  
2<sup>nd</sup> Ordre

Promoteur

M<sup>eille</sup> BENSMALI.H.

Etudiant

MOUHAIB.N.

## SOMMAIRE

	<u>Page</u>
<u>INTRODUCTION</u>	1
<u>PARTIE THEORIQUE</u>	
<u>chapitre I</u> : Réacteurs Idéaux. .... . . . .	3
<u>chapitre II</u> : Réacteurs Réels. .... . . . .	9
<u>chapitre III</u> : Notion de Micromélange et Macromélange Application à la Réaction de Saponification d'Acétate d'Ethyle . . . . .	20
<u>PARTIE EXPERIMENTALE</u>	
<u>chapitre I</u> : Montage Expérimental:	
A) réacteur agité continu ..... . . . . .	23
B) réacteur tubulaire ..... . . . . .	32
<u>chapitre II</u> :	
Distribution des Temps de Sejour dans les Réacteurs Expérimentaux	
A) réacteur agité continu ..... . . . . .	37
B) réacteur tubulaire ..... . . . . .	39
<u>chapitre III</u> :	
Résultats Expérimentaux et Interprétations	
A) réacteur agité continu ..... . . . . .	45
B) réacteur tubulaire ..... . . . . .	58

chapitre IV:

Influence de l'Etat du Mélange sur la Réaction de Saponification de l'Acétate d'Ethyle.

\_ Détermination des deux Etats Théorique

a) Micromélange Maximal ..... 72

b) Macromélange ..... 73

\_ Résultats Expérimentaux ..... 74

chapitre V

Conclusion ..... 81

Annexes ..... 82

BIBLIOGRAPHIE

- A mes chers parents, frères  
et sœurs.

-\*\*\*- R E M E R C I E M E N T S -\*\*\*-

\*\*\*\*\*  
\*\*\*\*\*  
\*\*\*\*\*  
\*\*\*\*\*

— 00\$00 —

Mes plus vifs remerciements vont à M<sup>elle</sup> BENSMAILI pour son aide constante et ses précieux conseils.

Je tiens également à remercier :

- Les membres du Jury qui me font l'honneur de juger ce modeste travail.  
Tous ceux qui ont participé ou de loin à l'élaboration de ce travail.
- Tous mes camarades pour leur soutien et encouragements.
- Mr CHELLALI M<sup>ed</sup>

Et à tous les Professeurs et Assistants (es) du Département de Génie pour leur conseils et leur aide.

## MEMBRES DU JURY

### Président:

Monsieur: YOUSFI Y. Professeur à l'ENPA.

### Examinateurs:

Melle BENSMAILI H. Maitre Assistante

Monsieur AMANOVICZ. Maitre de Conférence

Melle ALIA K. Chef de département

Monsieur GALICKI Chargé de cours à l'ENPA.

## INTRODUCTION

---

L'étude des performances d'un réacteur nécessite la connaissance d'une part de son état de macromélange à l'échelle macroscopique et d'autre part de son état de micromélange à l'échelle moléculaire.

L'état de macromélange est donné par la distribution de temps de séjour et n'est suffisant pour prévoir les performances (devoir le comportement) des réacteurs que dans le cas d'une réaction du premier ordre. Dans les autres cas il faut lui ajouter la connaissance de la microstructure du fluide ou état de micromélange.

Le fluide réactionnel macroscopiquement homogène peut présenter une structure microscopique variable pour laquelle on distingue deux cas limites:

- Le fluide est homogène jusqu'à l'échelle moléculaire et chaque molécule est libre d'entrer en collision avec n'importe quelle autre molécule du mélange.
- Le fluide est brassé à l'échelle macroscopique, mais les molécules restent groupées par petits paquets ou agrégats, et ne peuvent réagir qu'avec les molécules de leur propre agrégat. C'est le cas du micromélange minimal.

Analysé pour la première fois en 1958 par DANCKWERTS [12] la notion de micromélange dans un réacteur commence à devenir importante dans certaines réactions industrielles. Par exemple pour des réactions consécutives d'ordre deux, le rendement en composé intermédiaire peut varier de près de 100% entre les deux états limites [13].

Pour les réactions de polymérisations les distributions des masses moléculaires ou de composition peuvent varier de façon importante selon l'état de micromélange [14].

Notre travail se compose essentiellement de trois parties:

- Conception de deux réacteurs continus agité et tubulaire.
  - Etude de la distribution des temps de séjour avec l'influence de différents paramètres (vitesse d'agitation, temps de passage, garnissage).
  - Influence du micromélange sur la réaction de saponification d'acétate d'éthyle.
-

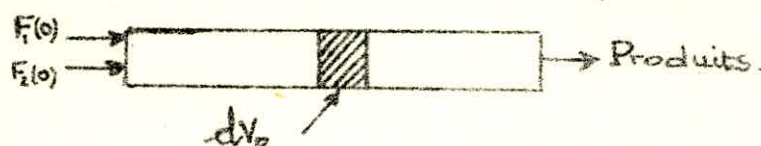
# PARTIE THÉORIQUE

CHAPITRE I :  
RÉACTEURS IDEAUX

# REACTEURS IDEAUX EN CONTINU

Levenspiel [ ] distingue deux types de réacteurs idéaux:

## I.1/ Réacteur en écoulement piston:



Le mélange réactionnel est en écoulement piston lorsqu'il progresse dans le réacteur par tranches parallèles et indépendantes, n'échangeant pas de matière (diffusion axiale négligeable) à la manière d'un piston dans un cylindre.

Toutes les variables d'état sont constantes dans toute section droite normale à l'écoulement. Elles ne dépendent que d'un seul paramètre, d'espace, mesuré normalement au sens de l'écoulement.

Toutes les particules entrées ensemble ont même temps de séjour dans le réacteur; cette condition est approximativement réalisée en écoulement très turbulent ou dans un garnissage poreux.

## I.2/ Réacteur parfaitement agité ouvert:

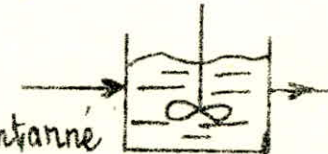
Le réacteur se caractérise par une composition et un état instantané du mélange réactionnel parfaitement uniformes dans tout le volume qui lui est offert. Le fluide, à la sortie, à la même concentration que celle du fluide à l'intérieur du réacteur.

Le réacteur parfaitement agité continu (parfois appelé "réacteur sans gradient") est un dispositif particulièrement bien adapté à l'étude cinétique des réactions chimiques. L'un des avantages essentiels est son caractère "différentiel" qui est une conséquence de l'uniformité de l'composition du mélange réactionnel. Un simple bilan de matière permet d'accéder directement aux vitesses de réactions.

L'agitation permet l'uniformisation et le contrôle de la température du milieu, ce qui n'est pas possible dans les autres géométries.

Tous les temps de séjour sont à priori possible, depuis le court circuit instantané de l'entrée à la sortie, jusqu'au tournoiement infini dans la cuve.

La présence du court circuit est un avantage du point de vue régulation, car la réponse à une perturbation est immédiate dans le courant de sortie.



### 3/ paramètres d'évolution d'un système réactionnel

Avant de présenter les réacteurs parfaitement agité et à écoulement piston, nous donnons quelques définitions pour la compréhension de la suite de l'exposé.

Une réaction chimique est une transformation au cours de laquelle une ou plusieurs espèces chimiques se forment. Elle est caractérisée par son équation stoïchiométrique et son équation cinétique.

#### 3.1/ définitions :

##### a) équation stoïchiométrique:

Elle permet de déterminer les proportions suivant lesquelles les espèces chimiques réagissent entre elles par les autres.

$$\sum \nu_i A_i = 0$$

$\nu_i > 0$  pour les produits

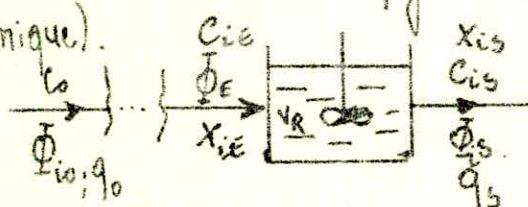
$\nu_i < 0$  pour les réactifs.

où les  $A_i$  sont les constituants actifs de la réaction.

Cette réaction ne traduit donc en principe que des bilans de matière et non pas le mécanisme réactionnel.

##### b) avancement

En système ouvert l'évolution est décrite par les débits (molaire volumique).



$\left\{ \begin{array}{l} \Phi_{io}: \text{débit molaire de } i, \text{ à l'état de référence} \\ \Phi_{is}: \text{débit molaire de } i \text{ à la sortie du réacteur} \end{array} \right.$

En tout point de l'écoulement permanent,

$$\Phi_i = \Phi_{io} + \nu_i \Phi_o \quad (1) \quad \text{avec } \Phi_o = \sum \Phi_{io}, \text{ débit molaire des actifs}$$

En particulier à l'entrée du réacteur  $x = x_E$  et à la sortie  $x = x_S$

$$\Rightarrow \Phi_{is} = \Phi_{ie} + \nu_i \Phi_o (x_S - x_E) \quad (2)$$

c) taux de conversion: Souvent on choisit un constituant clé dont on définit le taux de conversion ainsi:

$$\bar{\Phi}_i = \Phi_{io} (1 - x_i) \quad (3)$$

(5)

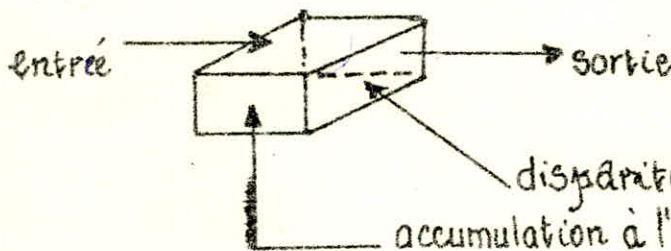
Ces définitions ne sont pas particulières au réacteur agité continu, et permettent également de caractériser tous les réacteurs ouverts en régime permanent.

## I.4./ bilan de matière - équation caractéristique des réacteurs idéaux :

### I.4.1) réacteur agité continu :

On a déjà présenté ce réacteur dans  
Il est plus commode de caractériser ce type de réacteur par des équations spécifiques

Le point de départ de notre étude est l'écriture du bilan de matière pour un réactif quelconque.



disparition par réaction chimique à l'intérieur de l'élément  
accumulation à l'intérieur de l'élément

(Ce qui entre) = (ce qui sort) + (ce qui réagit) + (ce qui s'accumule).

Sans réaction chimique le deuxième terme du deuxième membre disparaît.

Le troisième terme de ce même membre disparaît pour le cas du régime permanent.

Supposons que la vitesse "r" rapportée à l'unité de volume du réacteur

$V_R$ : Volume total du réacteur.

Dans ce régime permanent le bilan du constituant  $i$  s'écrit :

$$\Phi_{ie} + \dot{\rho}_i r V_R = \Phi_{is} \quad (3)$$

Compte tenu de l'équation (2) et (3) l'équation caractéristique du réacteur s'écrit :

$$\frac{X_s - X_e}{V_R} = \frac{r}{\Phi_0} = \frac{r}{q_0 c_0} \quad (4)$$

r : vitesse de la réaction calculée aux conditions de partie du réacteur qui sont celles qui règnent dans le réacteur

$c_0$ : concentration totale des constituants actifs à l'état de référence

$q_0$ : débit volumique total de tous les constituants (actifs et inertes).

On introduit une grandeure opératoire importante, le "Temps de passage" défini par :

$$\tau = \frac{V_R}{q_0}$$

L'équation ④ s'écrit :

$$\tau = \frac{c_0 (x_s - x_e)}{r}$$

La résolution de l'équation ④ permet de déterminer le volume du réacteur nécessaire à une conversion donnée, ou bien de calculer la conversion à atteindre d'un réacteur.

Il faut connaître  $r(x)$ , c'est à dire les conditions physiques ( $T$  et  $P$ ) et l'expression des concentrations en fonction de l'avancement  $x$ .  
Les concentrations s'écrivent ainsi

\* Pour un constituant actif .

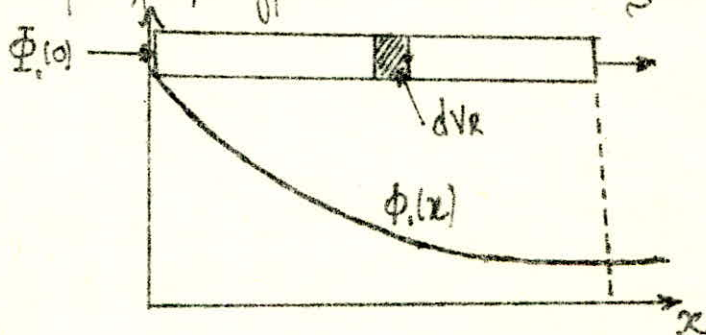
\* Pour un constituant inerte .

$$c_i = \frac{c_{i0} + \alpha_i c_0 x}{\beta(1 + \alpha x)}$$

$$c_I = \frac{c_{I0}}{\beta(1 + \alpha x)}$$

#### I4.2) réacteur à écoulement piston:

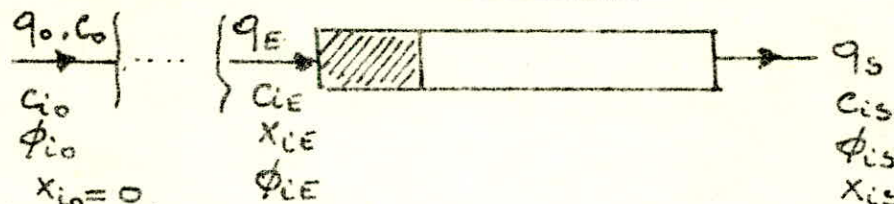
Dans le cas du réacteur à écoulement piston, l'espèce chimique progresse en même temps que son environnement tout au long du tube en se transformant progressivement. On conçoit donc qu'il s'établisse un profil continu et décroissant de concentration du réactif considéré entre l'entrée et la sortie du réacteur. (figure ci-dessous), c'est ainsi qu'on qualifie ce type de réacteur à "gradient de concentration".



Nous choisissons comme variable d'espace le long de l'écoulement le volume  $V_R$  déjà balayé par la tranche de mélange, considéré depuis son entrée dans le réacteur. Le bilan d'un constituant  $A_i$  doit s'écrire localement, dans une tranche de volume  $dV_R$  fixée par rapport au réacteur.

Le bilan en régime permanent s'écrit :

$$\text{Entrée} + \text{Production} = \text{Sortie}$$



$c_0$  : Concentration totale

$\phi$  : flux molaire

$$\frac{d\phi}{dV_R} = \dot{\omega}_R \quad (1)$$

Que que soit le constituant considéré, la relation (1), donne naissance à une seule équation pour l'avancement :

l'équation caractéristique du réacteur:

$$\frac{dx}{dV_R} = \frac{r}{\phi_0} = \frac{r}{q_0 c_0} \quad (2)$$

Le volume du réacteur  $V_R$  nécessaire à l'obtention d'un avancement donné s'obtient par intégration :

$$V_R = \phi_0 \int_{x_E}^{x_s} \frac{dx}{r} \quad (3)$$

Ce qui correspond à un temps de passage  $\tau$  :

$$\tau = \frac{V_R}{q_0} = C_0 \int_{x_E}^{x_s} \frac{dx}{r} \quad (4)$$

(3)

Dans le cas particulier d'une réaction chimique de déroulant sans expansion de volume (pour les liquides) le débit volumique  $q_0$  est constant tout le long du réacteur.

En posant  $d\tau = \frac{dx}{q_0}$  et en introduisant les concentrations  $c_i = \frac{\phi_i}{q_0}$  l'équation (1) s'écrit : 
$$\frac{dc_i}{d\tau} = \beta_i r \quad (5)$$

Ici le temps de passage joue le rôle de temps de séjour  $t_s$ .

Cette remarque est à la base de la transposition discontinue en continu. Il suffit d'égaliser le temps de passage  $\tau$  (défini sur les conditions d'entrée) au temps  $t$  nécessaire pour obtenir le résultat recherché en réacteur fermé ; Ceci n'est pas vrai si le mélange subit une expansion ou une contraction au cours de la réaction.

Le temps de séjour  $t_s$  du mélange dans le réacteur est donné par :

$$t_s = c_0 \int_{x_E}^{x_S} \frac{dx}{\beta(1+x)r}$$

---

 0 0

Tableau résumant : équations caractéristiques

- temps de passage
- temps de séjour
- débits

des réacteurs idéaux

Type de réacteur	Équation caractéristique	Temps de passage	Temps de séjour	Débits
Réacteur agité continu (régime permanent)	$\frac{t_{is}}{\Phi_0} = \frac{x_{is} - x_{ie}}{V_R}$	$\tau = C_0 \frac{x_{is} - x_{ie}}{v_{is}}$	$t_{is} = \frac{C_0}{\beta(1+\alpha)} \tau$	$q = \beta q_0 (1 + \alpha)$
Réacteur piston (régime permanent).	$\frac{dx}{dV_R} = -\frac{r}{\Phi_0}$	$\tau = C_0 \int_{x_{ie}}^{x_{is}} \frac{dx}{r}$	$t_{is} = C_0 \int_0^x \frac{dx}{r}$	$q = \beta q_0 (1 + \alpha)$

## CHAPITRE II:

### REACTEURS REELS

## chap. II

# REACTEURS REELS

### 1) définition des écoulements réels

- \* Age interne  $\alpha$ .
- \* Espérance de vie  $\lambda$ .
- \* Temps de séjour  $t_s$ .

l'approche théorique du fonctionnement des réacteurs chimiques utilisant le concept de réacteur idéal fait appel à deux types d'écoulement simple dans les réacteurs en régime permanent.

- Ecoulement piston
- Ecoulement en mélange parfait

Coutefois, dans un réacteur réel, les molécules séjournent dans le volume réactionnel pendant des temps  $t_s$  qui dépendent notamment du profil hydrodynamique, de la géométrie du réacteur.

Ces temps peuvent dépasser du temps de séjour moyen  $\bar{t}_s$ . Donc il existe une Distribution de Temps de Séjour (D.T.S), et cette dispersion a une influence sur les performances chimiques du réacteur.

L'étude de la D.T.S permet de tirer des informations sur le fonctionnement hydrodynamique du réacteur ; puis nous utiliserons ces informations conjointement à la connaissance de la cinétique chimique pour prévoir les performances du réacteur.

de mérite à DANKWERTS [1] en 1953, d'avoir proposé une approche systématique de ce problème en définissant les fonctions de distributions de temps de séjour aisement accessibles à l'expérience. Ces mesures nous fournissent une information sur la circulation du fluide dans le réacteur beaucoup plus globale que celle que nous fournit l'approche analytique de la mécanique des fluides.

### définitions:

Considérons une molécule à l'intérieur d'un réacteur pourra on définir

- Age interne ( $\alpha$ ) de la molécule : { C'est le temps qui s'est écoulé depuis qu'elle a franchi l'entrée du réacteur

- Esperance de vie ( $\lambda$ ) :

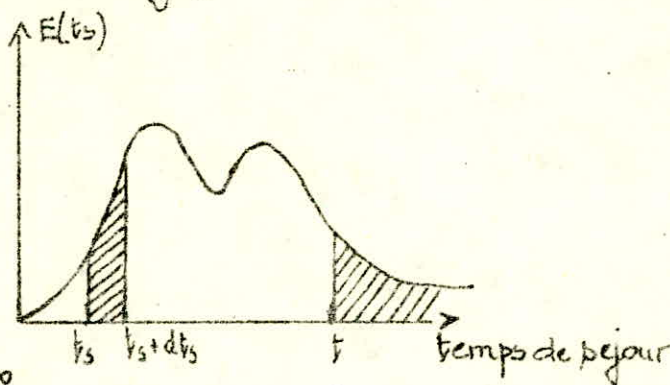
{ C'est le temps qui lui reste à passer dans le réacteur avant de franchir la sortie du réacteur

Temps de séjour ( $t_s$ ): C'est le temps qu'elle aura passé au total dans le réacteur.  
Ce temps n'est autre que l'âge du courant de partie où a:  
 $t_s = \lambda + \alpha$ .

## I.2) principales fonctions de distribution

### I.2.1) distribution de temps de séjour (D.T.S)

La fonction la plus importante est la distribution de temps de séjour (D.T.S),  $E(t_s)$ , telle que  $\int E(t_s) dt_s$  est la fraction de débit de partie, contenant des molécules d'âge compris entre  $t_s$  et  $t_s + dt_s$  (fig. ci-dessous).



La quantité  $\int_{-\infty}^{\infty} E(t_s) dt_s$  représente la fraction du fluide ayant séjourné plus longtemps que  $t_s$  dans le réacteur.

Une autre fonction de distribution concerne globalement tout le volume interne.

### II.2.2) distribution des âges internes $I(\alpha)$ :

Est telle que  $I(\alpha) dx$  est la fraction du volume interne contenant des molécules d'âge compris entre  $\alpha$  et  $\alpha + dx$ .

En 1963 NAOR et SHINAR [2] ont introduit une fonction plus pratique :

### II.2.3) fonction intensité $\mathcal{N}(\alpha)$ ou $\mathcal{N}(t_s)$

$\mathcal{N}(\alpha) da$  = fraction des molécules d'âge interne  $\alpha$ , ayant un temps de séjour dans le réacteur égal à  $\alpha$ . Autrement dit  $\mathcal{N}$  représente dans chaque classe d'âge la fraction de molécules d'espérance de vie nulle.

### II.3) détermination expérimentale de la D.T.S au moyen de traceur :

La méthode de tracage consiste à marquer les molécules entrant dans le réacteur et à suivre leur histoire jusqu'à la sortie. En particulier en les dénombrant dans le courant de sortie en fonction du temps.

Pour cela on utilise un tracage qui peut être un tracage radioactif, un colorant ou toutes substances de même propriétés hydrodynamique que le fluide, mais décelable par une propriété physique caractéristique telle que conductivité électrique, thermique...

On applique à l'aide du tracage une excitation à l'entrée du réacteur qui ne doit pas perturber le régime d'écoulement et on examine la réponse à la sortie. On en déduit des renseignements relatifs à l'écoulement interne du fluide.

### II.3.1) injection impulsion:

Elle consiste à injecter une quantité donnée du tracage à l'entrée du réacteur pendant un temps très court devant le temps de passage  $\tau$  ( $< 0,01\tau$ ). La courbe réponse donnant la concentration du fluide à la sortie du réacteur en fonction du temps est par définition la courbe  $E(t)$ :

Elle mesure la fraction  $c/c_0$  en fonction du temps à la sortie.  
Cette courbe  $E(t)$  expérimentale n'est pas en général normée, elle est reliée à la distribution de temps de séjour  $E(t)$  par:

$$E(t) = \tau E(t) = c(t)/c_0 \Rightarrow E(t) = \frac{c(t)}{c_0 \tau}$$

$$c_0 \tau = \int_0^\infty c(t) dt \Rightarrow E(t) = \frac{c(t)}{\int_0^\infty c(t) dt}$$

### II.3.2) injection échelon ou purge échelon

Dans une injection échelon, la concentration du tracage passe brusquement de zéro (0) à  $c_0$  dans l'alimentation à l'instant  $t=0$ .

Dans l'injection purge échelon, l'injection permanente et établie du tracage est brusquement interrompue à l'instant initial.

Soit  $C(t)$  la concentration du traceur à la partie après une injection échelon. La courbe donnant la fraction  $F = \frac{C}{C_0}$  du fluide en fonction du temps est par définition la courbe  $F$ .

En supposant que le fluide est incompressible à un instant  $t$ , donné après une injection échelon, la fraction de volume occupé par du fluide marqué est celle qui est plus jeune que  $t$ . Soit  $\int^t I(\alpha) d\alpha$

De même dans le courant de la partie la fraction de débit marqué est celle qui a un temps de séjour plus petit que  $t$ , soit  $\int^t E(t_s) dt_s$ .

de bilan du traceur:

$$q_{c0} = q_c + \frac{d}{dt} \left[ V_R C_0 \int^t I(\alpha) d\alpha \right]$$

d'où les relations :

$$1 = F + \tau I(t)$$

$$F = \int^t E(t_s) dt_s.$$

Donc l'accès à la fonction  $I = 1 - F$  et à la fonction  $E = \frac{dF}{dt}$  peuvent être obtenue par une expérience d'une injection échelon.

### I.33) coordonnées réduites :

On réduit l'abscisse  $t$  par le temps de passage  $\tau = V_R/q$  dans le réacteur. On pose  $\theta = t/\tau$

On écrit alors les diverses fonctions en coordonnées réduites, après les avoir normer.

$$\begin{cases} E(\theta) = \tau E(t) \\ I(\theta) = \tau I(t) \\ C(\theta) = \tau C(t) \end{cases}$$

### II.4.) expressions des différentes fonctions de distribution dans le cas des réacteurs idéaux

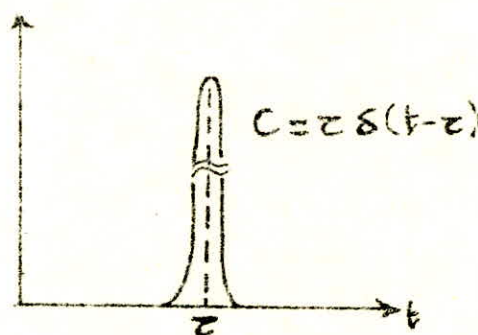
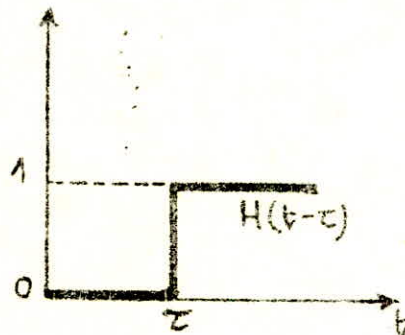
#### II.4.1.) réacteur piston :

Un réacteur piston ne comporte comme un retard pur. Toutes les molécules ont le même temps de séjour  $\bar{t}_s = \tau = \frac{V_R}{q}$ . La distribution de temps de séjour (D.T.S) est un pic très étroit placé au temps  $\tau$ .

$$E(t) = \delta(t-\tau)$$

La réponse à un échelon est un échelon décalé de  $\tau$ . (figure ci-dessous).

$$F(t) = H(t-\tau) \text{ ou } H: \text{fonction échelon unité Heaviside}$$



## II.4.2) réacteur parfaitement agité continu :

On introduit une bouffée de tracage dans le réacteur. La concentration passe instantanément à  $C_0$ , puis évolue suivant l'équation du bilan de matière

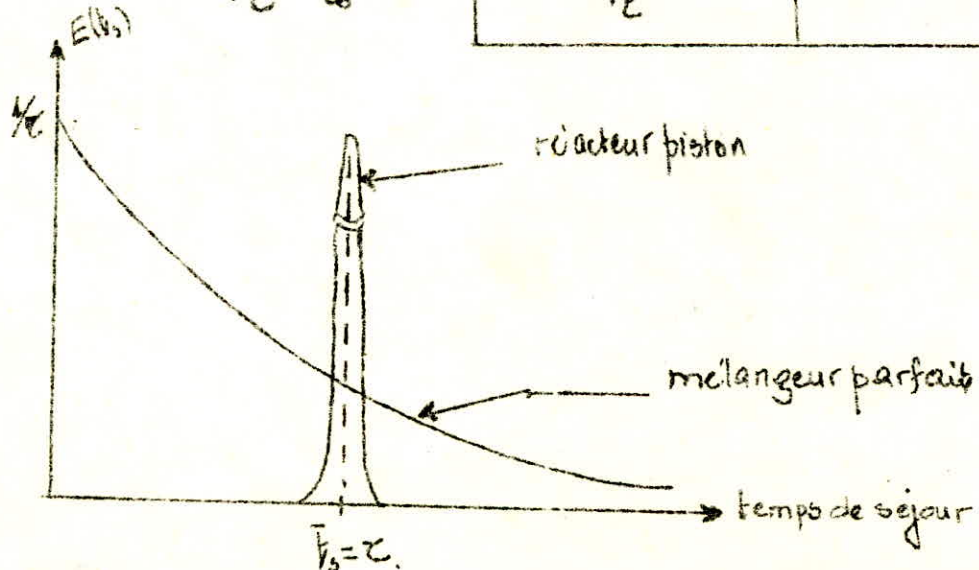
$$0 = V_R \frac{dc}{dt} + qc$$

On en déduit :

$$E(t) = \frac{1}{C_0} \% \Rightarrow$$

$$E(t) = \frac{1}{C_0} e^{-\frac{t}{\tau}}$$

$$F = 1 - \exp(-t/\tau)$$



## 5) paramètres caractéristiques des fonctions de distribution.

Une fonction de distribution est toujours caractérisée par deux paramètres importants.

### II.5.1) moyenne ou centre de la distribution

Si  $f(x)$  est la fonction de distribution, la moyenne sera définie par

$$\bar{t} = \frac{\int_0^{\infty} x f(x) dx}{\int_0^{\infty} f(x) dx}$$

Pour la fonction C on aura:

$$\bar{t} = \frac{\int_0^{\infty} t C(t) dt}{\int_0^{\infty} C(t) dt}$$

Pour une courbe expérimentale on aura:

$$\bar{t} = \frac{\sum_{i=1}^n t_i c_i a_i}{\sum_{i=1}^n c_i a_i}$$

Avec une distribution normale tel que  $E(t)$ .  $\bar{t}$  s'exprime ainsi

$$\bar{t} = \int_0^{\infty} t E(t) dt$$

### II.5.2) Variance:

Le paramètre mesure l'étalement ou l'étendue de la distribution. Une faible valeur de la variance signifie que les valeurs de la fonction sont distribuées étroitement autour de la moyenne.

La variance est bien définie par:

$$\sigma^2 = \frac{\int_0^{\infty} (t - \bar{t})^2 C dt}{\int_0^{\infty} C dt}$$

$$\Rightarrow \sigma^2 = \frac{\int_0^{\infty} t^2 C dt - \bar{t}^2}{\int_0^{\infty} C dt}$$

Avec une distribution normée  $\sigma^2 = \int_0^\infty (t - \bar{t})^2 E dt$   
Pour une courbe expérimentale on aura :

$$\sigma^2 \approx \frac{\sum_{i=1}^n t_i^2 c_i \Delta t}{\sum_{i=1}^n c_i \Delta t} - \bar{t}^2$$

Avec une fonction normée on aura :

$$\sigma^2 = \sum_{i=1}^n t_i^2 E_i \Delta t - \bar{t}^2.$$

## II.6) DIAGNOSTICS SUR LE MAUVAIS FONCTIONNEMENT

### II.6.1) détection des zones de stagnation et court circuit

Dans un écoulement réel, si le mélangeage est imperfect, il peut exister des zones de stagnation ou volumes morts:

Le sont des zones qui échangent notamment avec une vitesse très faible avec le reste du fluide. Celi a pour effet de diminuer le degré de conversion.

#### a) évaluation des volumes morts:

On considère donc qu'il ya un volume  $V_m$  dans le réacteur inaccessible au fluide. Si l'écoulement était idéal le temps de passage  $\tau = V_R/Q$  serait égal à la moyenne de la courbe de distribution normée soit

$$\bar{\tau} = \tau$$

Comme il existe un volume mort, la courbe présentera une longue queue due au tracé qui est resté dans le volume mort et qui diffuse lentement; la surface sera alors plus grande sous la courbe

$$\bar{\tau} = m_1/S \quad \begin{cases} m_1: \text{moment d'ordre 1.} \\ S: \text{Surface sous la courbe.} \end{cases}$$

soit inférieur à  $\tau$ .

Le volume accessible au fluide est alors:  $V_a = V_R - V_m$ , avec  $\bar{\tau} = \frac{V_a}{Q}$  et

$$\tau = V_R/Q$$

d'où la relation suivante

$$\boxed{1 - V_m/V = \bar{\tau}/\tau}$$

#### b) évaluation des courts circuits

Il existe aussi surtout dans les

réacteurs à garnissage des courts circuits. Le fluide traverse très rapidement le réacteur en prenant des chemins tortueux.

La surface sous le courbe  $\bar{C}(t)$  serait alors plus petite que celle théorique. Donc  $\bar{t}$  sera supérieur à  $t$ .

$$Q_o = Q + Q_c.$$

avec :  $\begin{cases} \bar{t} = V_R/Q \\ t = V_R/Q_c \end{cases} \Rightarrow \text{d'où } \frac{Q_c}{Q_o} = 1 - \frac{t}{\bar{t}}$  ( $Q_c$ : débit de sout. circuit)

## II.6.2) fonction intensité:

On estime les courbes réponses d'un modèle de sortie graphiquement d'une manière rapide en utilisant le graphe de la fonction Intensité  $\lambda(t)$ , ainsi définie :

$$\lambda(t) = \frac{E(t)}{1 - F(t)}$$

soit en temps réel :

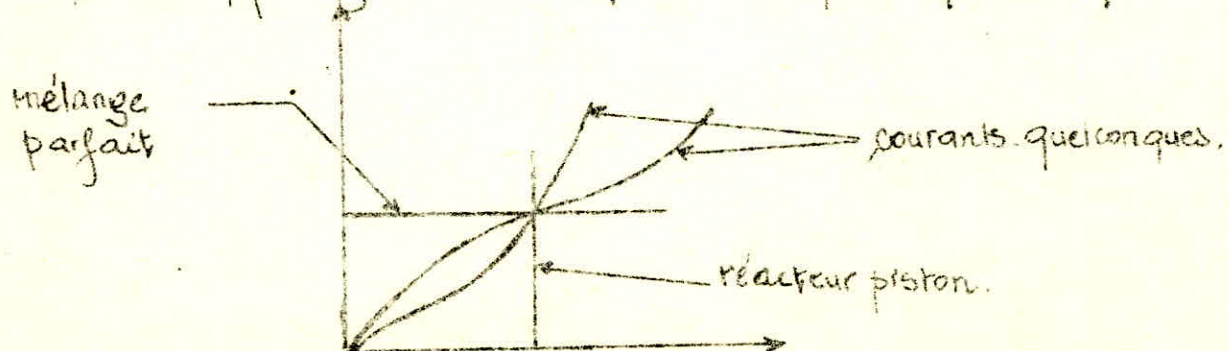
$$\lambda(\theta) = \frac{E(\theta)}{I(\theta)} = \frac{E(\theta)}{1 - F(\theta)}$$

On aura donc :  $\lambda(0) = \infty \lambda(t)$ .

$\lambda(t)$  est une fonction de distribution : elle représente la probabilité pour qu'une particule d'âge  $t$  sorte de l'appareil pendant un intervalle de temps  $dt$ .

Pour un modèle de mélange idéal,  $\lambda(t)$  est constante puisque la probabilité de sortie des particules de l'appareil ne dépend pas de leur histoire.

Pour des courants dont la distribution des âges internes ne présente pas de particularité,  $\lambda(t)$  sera une fonction monotone croissante ; cette croissance s'explique par le fait que plus longtemps un élément de fluide détourne dans le réacteur, plus grande est la probabilité pour qu'il le quitte.



### 6.3) Forme de la fonction intensité pour les zones de stagnation et court circuit

#### 1/ zone de stagnation:

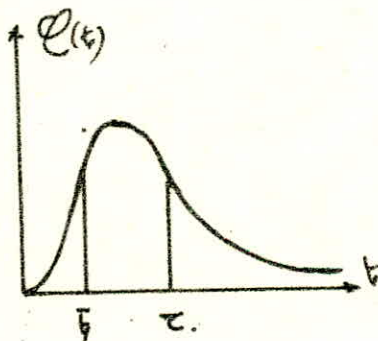
On traversera d'abord une croissance de la fonction lorsque la masse principale du fluide quitte l'appareil.

À force l'écoulement du gros du courant, la probabilité pour que les particules portées par l'écoulement va en diminuant vu qu'elles proviennent des zones où l'échange de matière se fait très lentement.

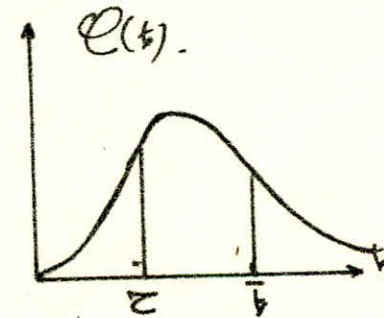
La fonction Intensité passera par un maximum puis commencera à décroître. Mais au cours du temps les particules restées dans les volumes morts commenceront à quitter l'appareil et la probabilité pour qu'elles sortent du système sera de nouveau d'autant plus grande qu'elles séjournent plus longtemps : la fonction recommencera alors à croître.

#### 2/ court circuit:

On aura une allure analogue, la seule différence provenant des volumes du fluide en état de court-circuit



VOLUME MORT



COURT-CIRCUIT.

## CHAPITRE III:

- NOTION DE MICROMELANGE et  
MACROMELANGE

- APPLICATION A LA REACTION DE  
SAPONIFICATION DACETATE DETHYLE

## Notion de Micromélange et Macromélange.

### Application à la réaction de Saponification de l'Acétate d'Ethyle

La connaissance de la distribution des temps de séjour du fluide dans un réacteur permet de prévoir les performances chimiques de ce dernier, dans le cas où la vitesse de réaction est une fonction linéaire de la concentration [3]. Dans les autres cas, il faut ajouter aux informations fournies par la D.T.S., la connaissance de la microstructure du fluide réactionnel ou état de "micromélange".

Le fluide réactionnel macroscopiquement homogène peut présenter une structure microscopiquement variable par laquelle on distingue deux cas limites [4]

#### a) micromélange parfait:

Le fluide est homogène jusqu'à l'échelle moléculaire et chaque molécule est libre d'entrer en collision avec toutes les autres molécules du fluide. C'est le cas du micromélange parfait ou Maximal [4]

#### b) macromélange ou ségrégation totale:

Le fluide est brisé à l'échelle macroscopique, mais les molécules restent groupées par petits paquets appelés "agrégats" et ne peuvent nager qu'avec les molécules de leur propre agrégat. C'est le cas du micromélange minimal ou déségrégation totale. Chaque agrégat se comporte comme un petit réacteur fermé, et on obtient la concentration à la portée en moyennant les concentrations des agrégats pour tous les âges [4].

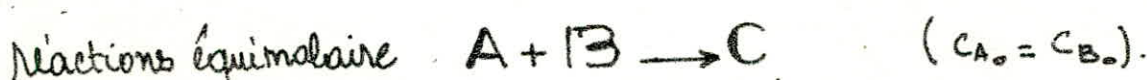
La concentration à la portée est donnée par

$$\bar{C} = \int_0^{\infty} c_{RF}(t) E(t) dt$$

Dans un réacteur réel, le micromélange du fluide ne correspond pas à l'un des deux états limites, mais varie entre ces limites en fonction des propriétés du fluide, de la réaction et du mode d'agitation [4].

### III.1) Application aux réactions du 2<sup>ème</sup> ordre:

Considérons une



Dont la vitesse de réaction peut s'écrire:

$$r = kC_A^2 = kC_A \cdot C_B$$

$C_A$ ,  $C_B$  désignent les concentrations des réactifs A et B.

La variation de la concentration de A en réacteur fermé est donné par

$$-\frac{dC_A}{dt} = kC_A^2 \quad \text{ce qui donne}$$

$$C_{A_{RF}} = (C_A)_{RF} = \frac{C_{A_0}}{1 + C_{A_0}kt}$$

#### a) micromélange maximal:

Le bilan de matière pour un

réacteur agité continu écrit:

$$Q_0 C_{A_0} - rV_R = Q_0 C_A \quad , \quad \tau = V_R/Q_0$$

$$\Rightarrow C_A = C_{A_0} - \tau r$$

Soit  $\boxed{C_A = C_{A_0} - kC_{A_0}^2 \tau}$

La fraction restante de A en micromélange maximal sera donnée par:

$$\boxed{\frac{C_A}{C_{A_0}} = \frac{-1 + \sqrt{1 + 4kC_{A_0}\tau}}{2kC_{A_0}\tau}} \quad (1)$$

#### b) micromélange ou ségrégation totale:

$$\boxed{\bar{C}_A = \int_0^\infty (C_A)_{RF} e^{-\frac{t}{\tau}} dt} \quad (2)$$

Avec :

$$\left(\frac{\bar{C}_A}{C_{A_0}}\right)_{R.F} = \frac{1}{1+kC_{A_0}t}$$

La résolution de l'intégrale ② donne :

$$\boxed{\bar{C}_A/C_{A_0} = \frac{1}{R} \exp(-1/R) \cdot \text{ei}(1/R)} \quad ③ \quad \text{avec } R = kC_{A_0}t$$

et  $\text{ei}$  : intégrale exponentielle donnée par des tables.

On peut résoudre cette :

Donc d'après les équations ① et ② on voit bien que les transformations chimiques diffèrent que l'état du système soit mélange ou milieu, pour une réaction du second ordre.

\* Par contre pour les systèmes linéaires ( $R = kC_A$ ) avec un état macroscopique :

$$\left(\frac{\bar{C}_A}{C_{A_0}}\right)_{R.F} = e^{-kt}$$

$$\bar{C}_A/C_{A_0} = \frac{1}{\tau} \int_0^\infty \exp(-kt) \cdot \exp(-t/\tau) dt \Rightarrow \boxed{\bar{C}_A/C_{A_0} = \frac{1}{1+k\tau}}$$

qui concorde bien avec le réacteur mélange idéal.

Ainsi pour les systèmes linéaires l'état du mélange n'exerce pas d'influence sur le degré de conversion.

## **PARTIE EXPERIMENTALE**

## CHAPITRE I:

### MONTAGE EXPERIMENTAL

- réacteur agité continu
- réacteur tubulaire

# I) MONTAGE EXPERIMENTAL

## IA) REACTEUR AGITE CONTINU

- \* La distribution de temps de séjour expérimentale peut-être interprétée comme celle du réacteur parfaitement agité continu.
- \* La détermination expérimentale de la D.T.S est réalisée par titration de traceur.

### IA1) description générale du montage expérimental

IA1.1) schéma général du montage expérimental  
Le dispositif expérimental dans son ensemble est représenté sur la figure N° 1.  
Il est divisé en deux parties : 1/ réacteur - accessoires

### IA1.2) construction (schéma, normes) du réacteur expérimental

Le genre du réacteur est facile à construire. C'est un tube cylindrique en Nbre de diamètre et de hauteur (H) 165 mm; emboité à chaque base sur une bride circulaire de diamètre 210 mm en acier inox.

La jonction des rives par tiges (ou) filtrées de diamètre 6 mm, permet d'assurer la fixation du tube cylindrique entre elles.

Grâce à trois raccords vissés (marchons filtrés), deux sur la bride inférieure et un pour la bride supérieure; la liaison réacteur - Système d'alimentation; réacteur - bac d'évacuation est assuré.

\* L'équipement du réacteur d'un thermomètre et d'un agitateur se fait par deux orifices sur la bride supérieure.

\* L'injection du traceur se fait par le fond du réacteur d'une façon courante avec l'alimentation. Elle se fait par un orifice bouché par un bouchon en caoutchouc pour permettre la pénétration.

face de l'aiguille de la seringue.

- \* Le guidage de l'arbre de l'agitateur est très important sur pour des grandes vitesses, pour ça on l'assure par une bague en bronze (voir schémas N°2) emboité sur un cylindre plein en bronze, lequel est fixé sur la bride supérieure par 4 vis de diamètre 5 mm.
- \* Enfin le problème de l'étanchéité aux niveaux tube en verre - brides en acier est résolu par des joints en caoutchouc, et au niveau de l'arbre de l'agitateur par un joint de réacteur est équipé de quatre chicanes disposées à 90° entre elles, selon les normes de HOLLAND & CHAPMAN. (voir schéma N°3).

#### IA1.3) système d'agitation :

Si donc on envisage d'utiliser une cuve cylindrique agitée telle quelle est schématisé par la figure N° 4) ; le choix de l'agitateur et les conditions de fonctionnement en particulier les vitesses d'agitation sont importants.

#### IA1.4) choix de l'agitateur:

Vu le but de notre travail, c'est de voir l'influence de la vitesse d'agitation sur les performances du réacteur, on devrait choisir pour chaque domaine de vitesse, l'agitateur qui il faut. Mais nous, nous avons travaillé avec le même agitateur pour toute la gamme de vitesses utilisées, du type TURBINE à SIX PALES PLATES fixés en bout de rayon. (voir figure N°5)

#### IA1.5) moteur d'entraînement de l'agitateur :

Nous avons utilisé une perceuse à percussion type PEUGEOT de puissance 500W., à quatre vitesses sous une tension de 220 Volts. et quatre autres sous une tension de 110 Volts. Le changement de vitesse se fait grâce au régulateur de vitesses.

<u>gamme de vitesse:</u>	2000 tours.mn <sup>-1</sup>	-	1400 tours.mn <sup>-1</sup>
	1000 tours.mn <sup>-1</sup>	-	850 tours.mn <sup>-1</sup>
	600 tours.mn <sup>-1</sup>	-	400 tours.mn <sup>-1</sup>
	350 tours.mn <sup>-1</sup>	-	300 tours.mn <sup>-1</sup>

## IA16) système d'alimentation

Le système d'alimentation est composé de deux bacs de capacité 15L, chacun contenant l'eau de ville pour la détermination de la Distribution de Temps de Séjour (D.T.S). Il serviront dans le cas de l'étude de la réaction chimique comme bacs de stockage pour la poude et pour l'acétate d'éthyle.

## IA17) organe de réglage de débit et d'enregistreur

Pour les expériences de la D.T.S, le réacteur est alimenté en eau de ville; l'alimentation se fait en continu grâce aux pompes centrifuge type. La mesure des débits est obtenue grâce à deux rotamètres type : Brooks TUBE 6.65 G.P.H Water et Brooks TUBE Size R 6.15A. Ces débitmètres sont préalablement étalonnés avec l'eau de ville (voir courbes d'étalonnage ...).

Nous avons pris comme ligne de zéro lors des enregistrement de conductivité celle de l'eau de ville.

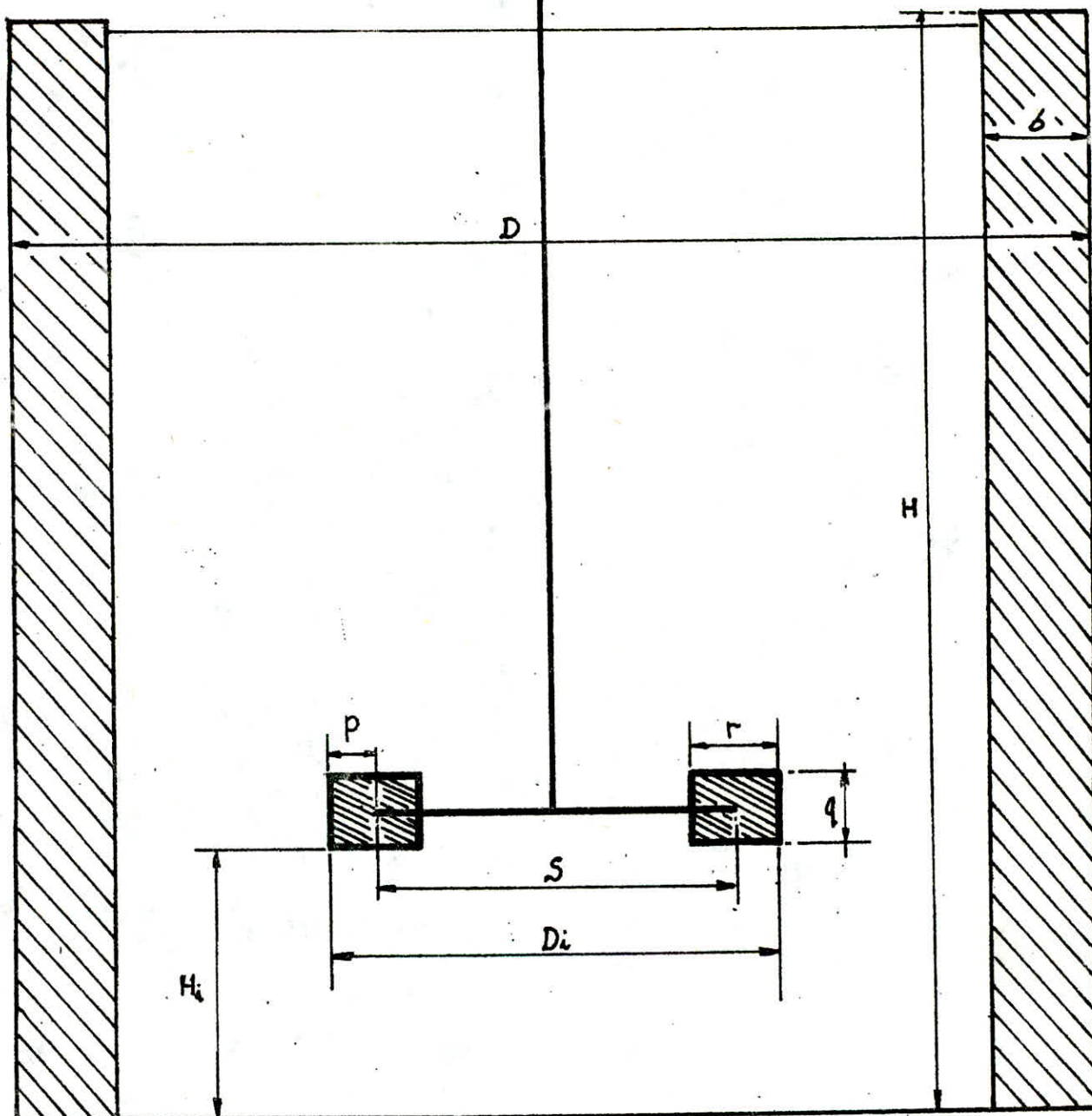
### = ensemble de mesures :

A la sortie du réacteur, nous suivons les concentrations à l'aide d'une sonde conductimétrique TACUSSEL type CM.02.55 de constante  $k = 0,73 \pm 40\%$ , placée dans le courant de sortie. La sonde est reliée à un conductimètre TACUSSEL type CD7N. Le signal est enregistré par un enregistreur type LINEAR instruments corp.

## IA18) schémas des éléments d'assemblage du réacteur:

voir schémas 2, 5, 6 et 7.

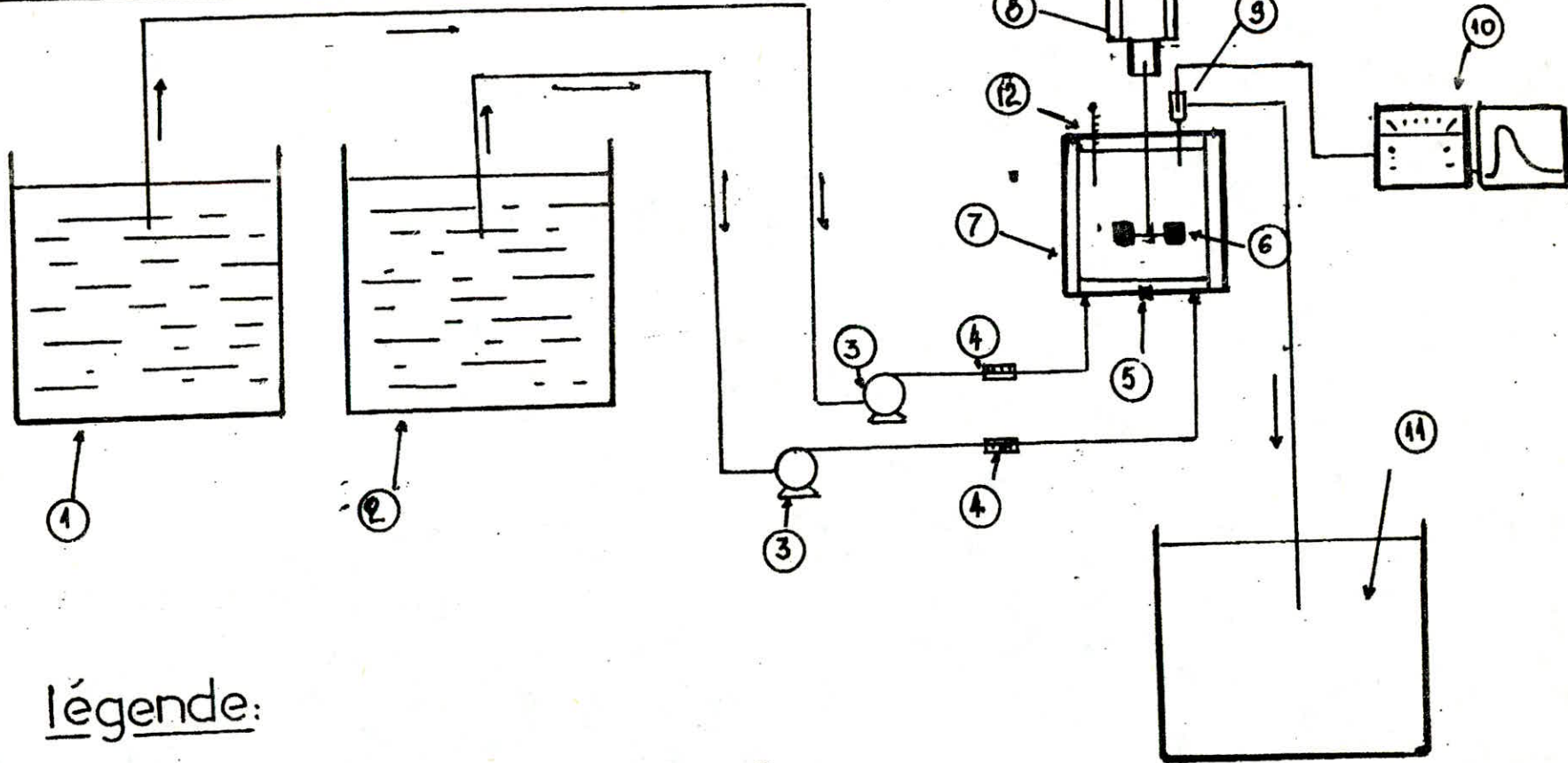
schéma et normes du réacteur  
agité selon **HOLLAND-  
CHAPMAN**



$H = D$	$r = D_i / 4$	$b = D / 10$
$D_i = D / 3$	$q = D_i / 5$	$D_i / 4 \leq H_i \leq 1,3 D_i$
$S = 3/4 D_i$	$b = r/2$	

**Schéma N°3**

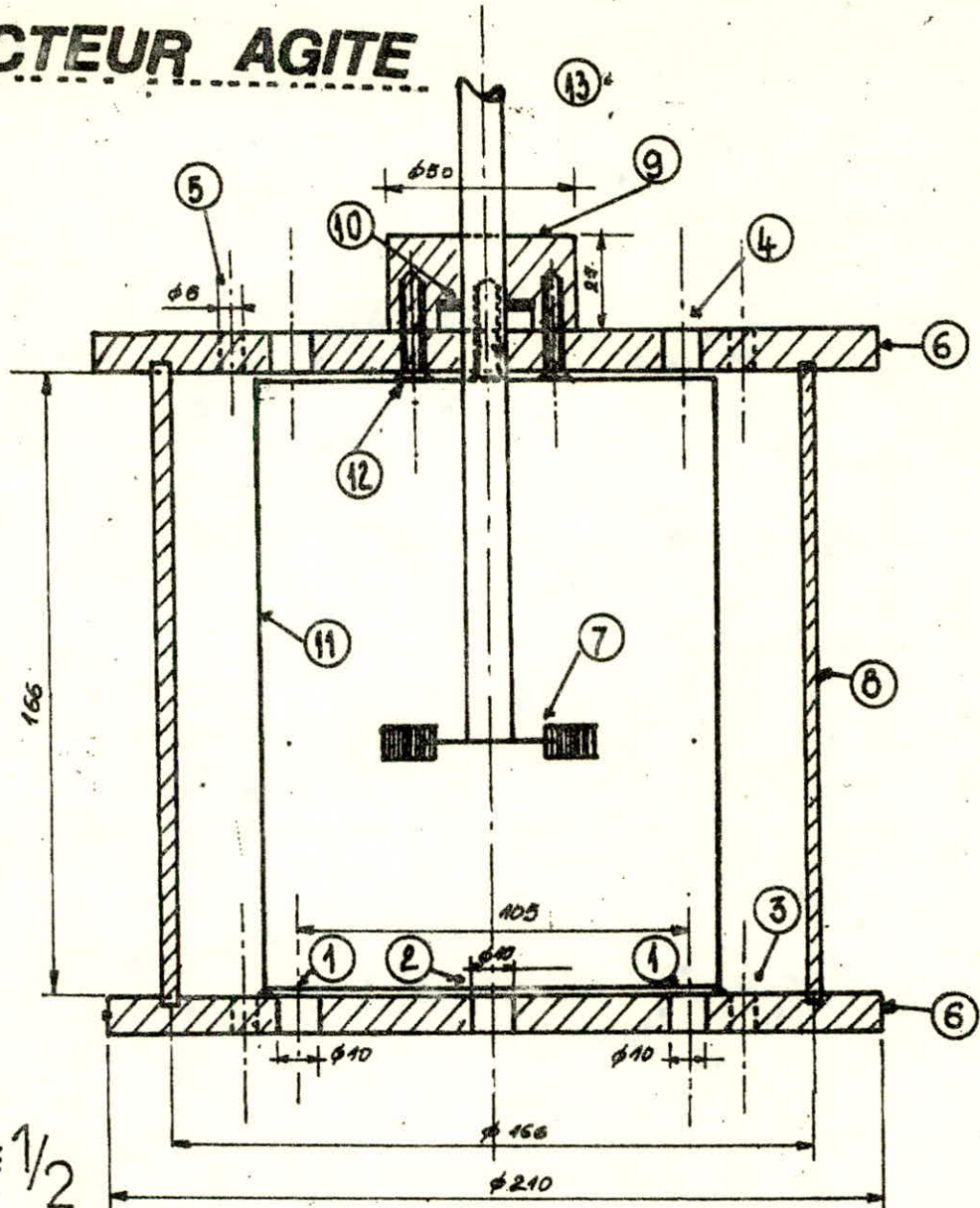
SCHEMA ET PRINCIPE DE L'INSTALLATION GENERALE (figure N°1).



Légende:

- ① Bac de stockage de soude de capacité 15l.
- ② Bac de stockage de l'Acétate d'Ethyl.
- ③ Pompe centrifuge.
- ④ Débitmètres à flotteur.
- ⑤ Orifice pour injection de solution d'Hcl.
- ⑥ Turbine à 6 pales plates.
- ⑦ Réacteur.
- ⑧ Moteur d'entraînement de l'agitateur.
- ⑨ Sonde conductimétrique.
- ⑩ Conductomètre type TACUSSEL CD7N + Enregistreur.
- ⑪ Bac d'évacuation.
- ⑫ Thermomètre.

# REACTEUR AGITE

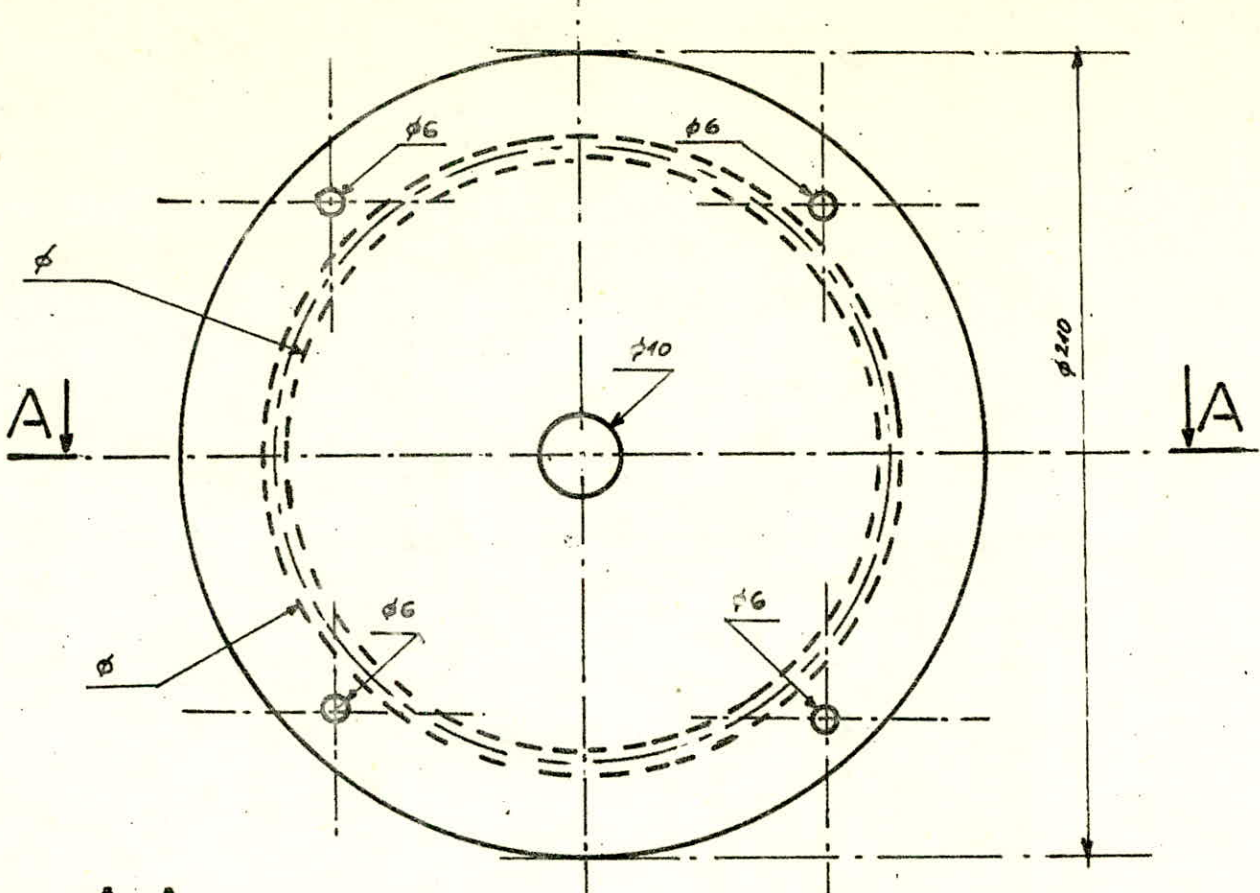


coupe transversale

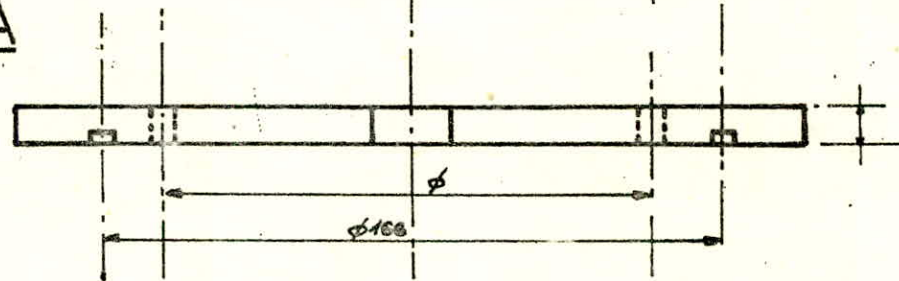
légende

- |                                    |                              |                    |
|------------------------------------|------------------------------|--------------------|
| ①: trous d'alimentations.          | ⑤: orifice pour thermomètre. | ⑨: bague en bronze |
| ②: orifice d'injection de traceur. | ⑥: brides en acier.          | ⑩: joint spécial   |
| ③: tige filtrée.                   | ⑦: turbine d'agitation.      | ⑪: chevilles       |
| ④: orifice de sortie.              | ⑧: tube en verre.            | ⑫: vis.            |

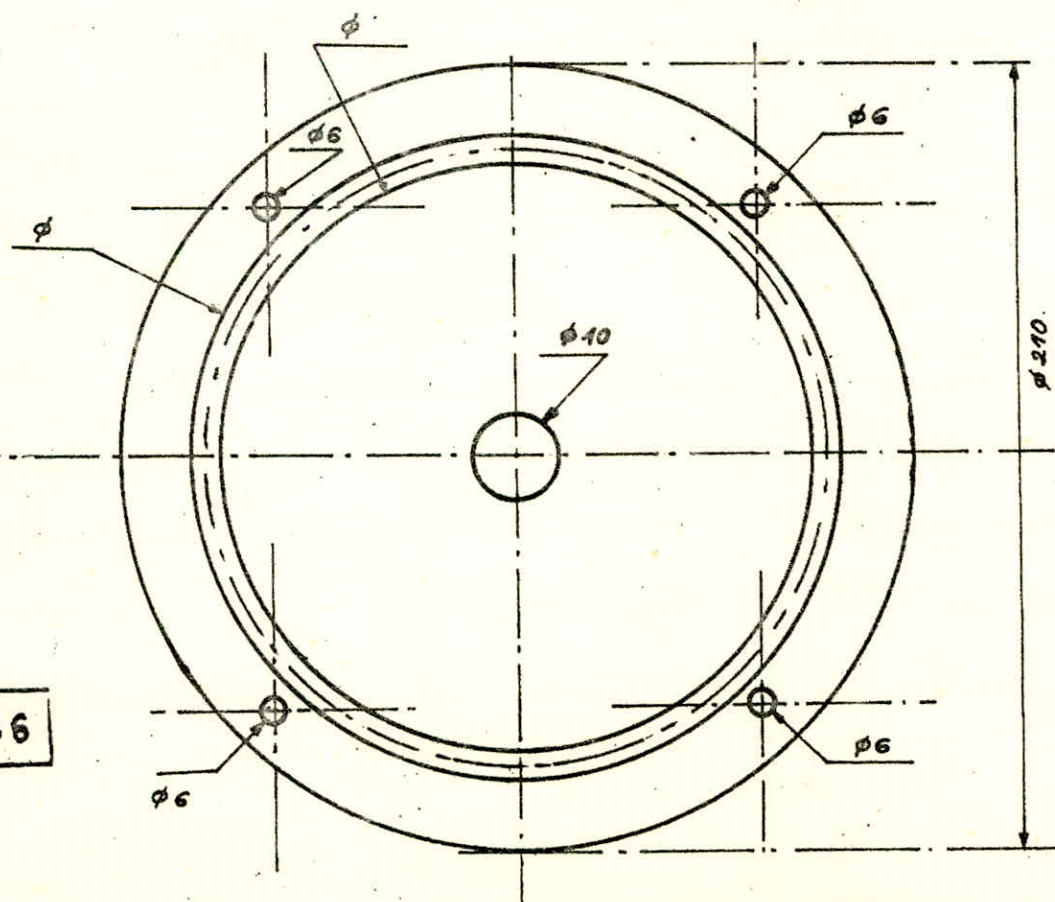
Figure N°4



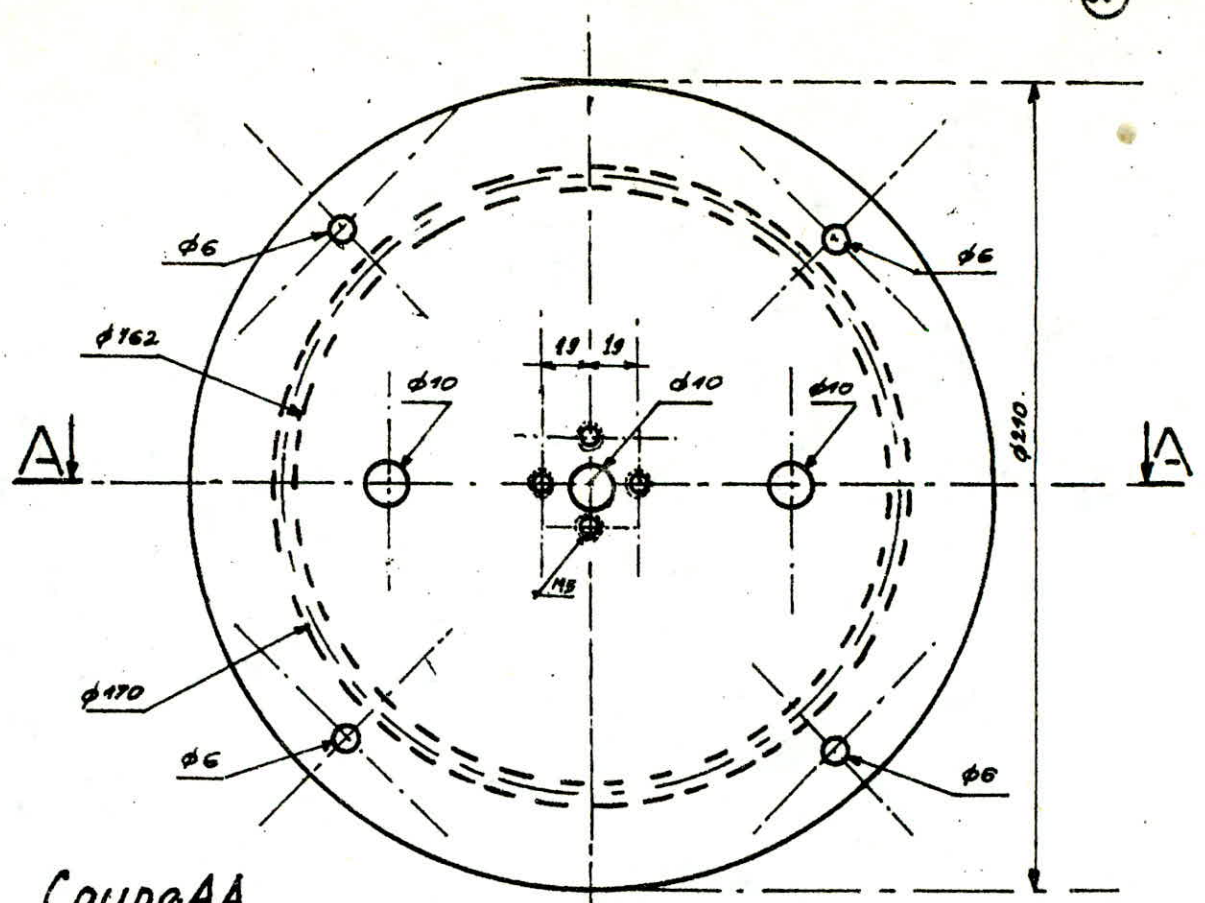
Coupe AA



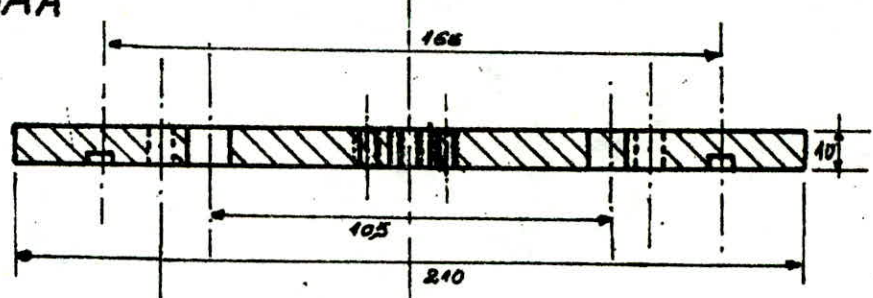
BRIDE INFERIEURE



Figures 6



CoupeAA



IBRIDE SUPERIEURE

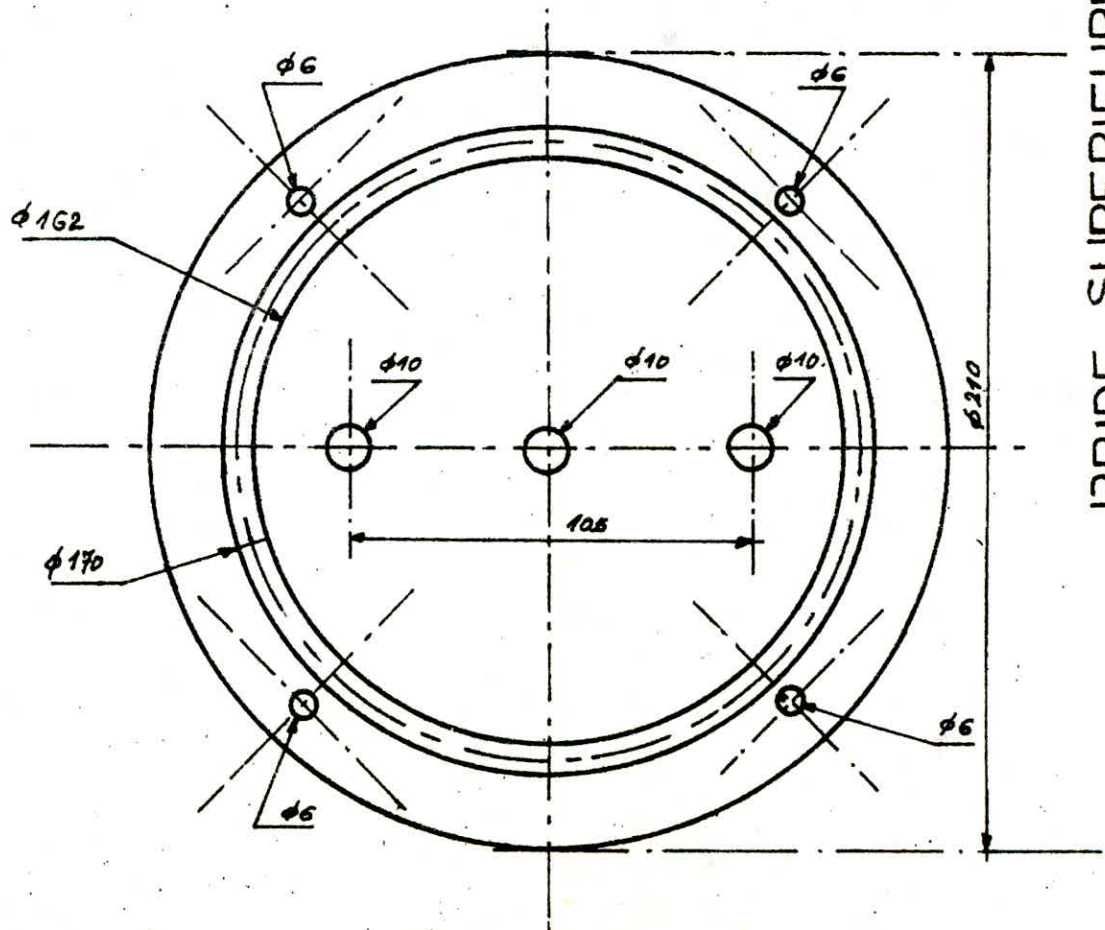


Figure 7

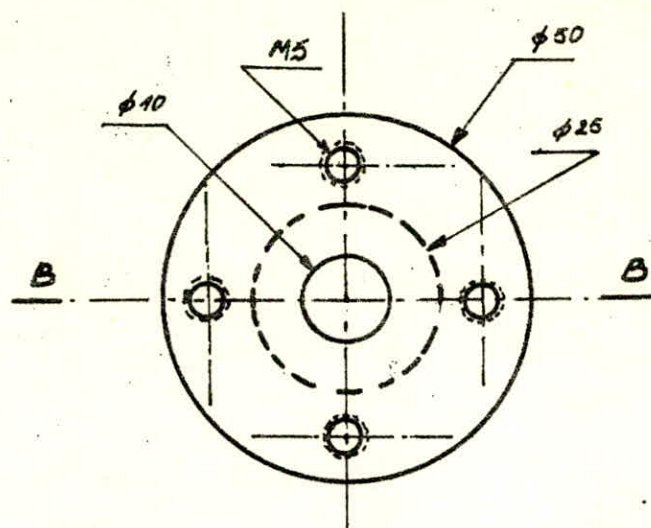
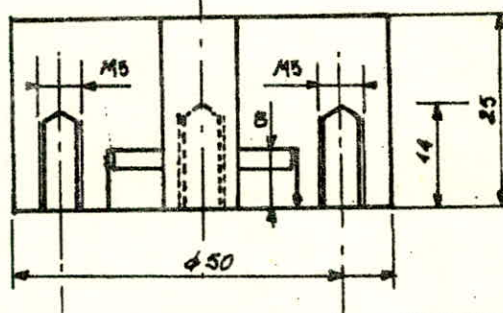


Figure N°2

Coupe BB.

### BAGUE POUR GUIDAGE D'AGITATEUR

### TURBINE A 06 PALES PLATES

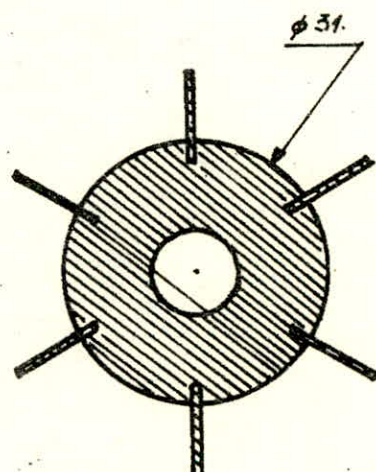
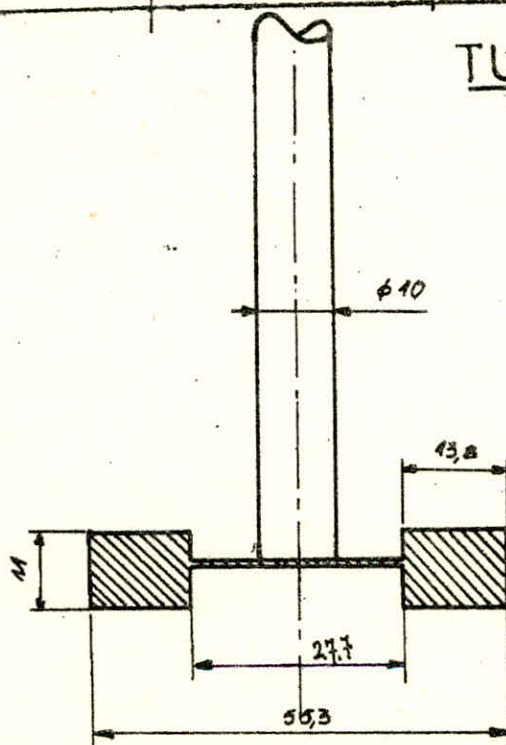


Figure N°5

## IB) REACTEUR TUBULAIRE

### I.B.1) aperçu sur la réalisation expérimentale du réacteur

Un tel réacteur est un tube dans lequel le mélange réactionnel circule d'une façon continue. Une colonne de garnissage est l'un des exemples d'un tel réacteur.

- la circulation des liquides dans notre cas se fait en courant ascendant
- l'empilement du garnissage se fait d'une manière en vase.

### I.B.2) dispositif expérimental:

Se divise de même que dans la partie A:

- Réacteur
- ; — Appareillages de mesures.

### I.B.3) conception du réacteur tubulaire

Ce type de réacteur est très simple, puisqu'il est constitué par un simple tube en verre de diamètre  $\phi = 62 \text{ mm}$ , et de longueur  $L = 530 \text{ mm}$ . emboité à chaque base sur une bride circulaire en acier de diamètre  $102 \text{ mm}$ .

On maintient l'ensemble tube-brides par quatre liges filtrées de diamètre  $\phi = 4 \text{ mm}$ , comme le montre la figure N° 1.

Dans le cas des expériences avec garnissage, un support en acier inox placé à 20 mm. de la bride inférieure permet de supporter les corps de remplissage.

Le volume de la partie entre support-bride inférieure est très petit devant le volume total du réacteur. Cette partie joue le rôle d'un prémeilleur.

En ce qui concerne la liaison entre les appareils : 1) réacteur - système d'alimentation  
2) réacteur - cellule de sortie,

elle se fait de la manière suivante : par 2 raccords vissés sur la bride inférieure, et un raccord vissé sur la bride supérieure pour 10. seconde liaison.

L'injection du traceur dans le cas des expériences de la D.T.S se fait à l'aide d'une seringue au fond du tube par un orifice de diamètre  $\phi = 10 \text{ mm}$ . bouché d'un bouchon en caoutchouc. L'étanchéité qui est un problème du premier ordre est assurée par des joints aux niveaux brides-tube ; support-tube.

Enfin le montage expérimental dans son ensemble est le même que celui du IA-11

#### IB.4) schémas des éléments d'assemblage du réacteur

Voir schémas N°2

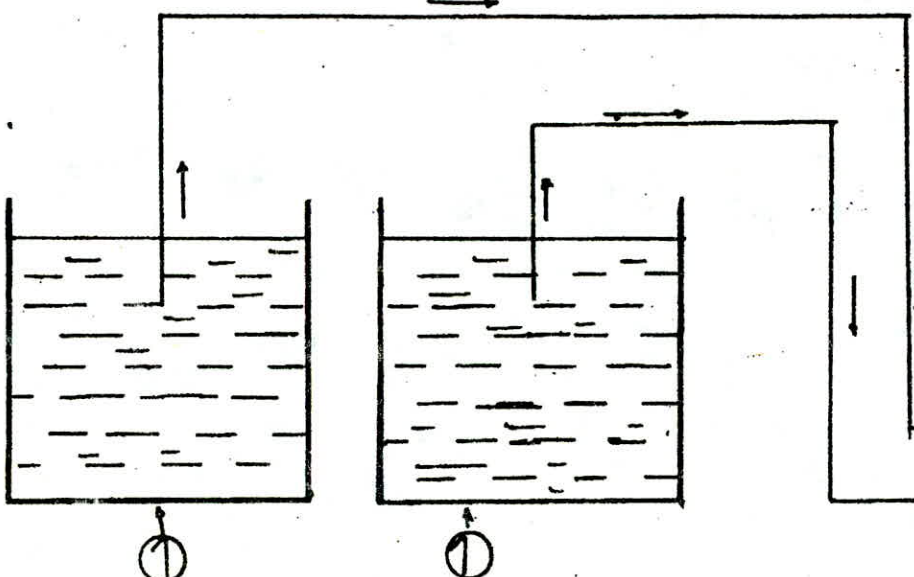
IB.5) système d'alimentation et de mesures : c'est le même que la partie A.16) précédemment décrite.

IB.6) corps de remplissage : Pour l'amélioration du contact entre les molécules du liquide et la turbulence, on remplit le tube de corps de garnissage.

On utilise deux types de garnissage :

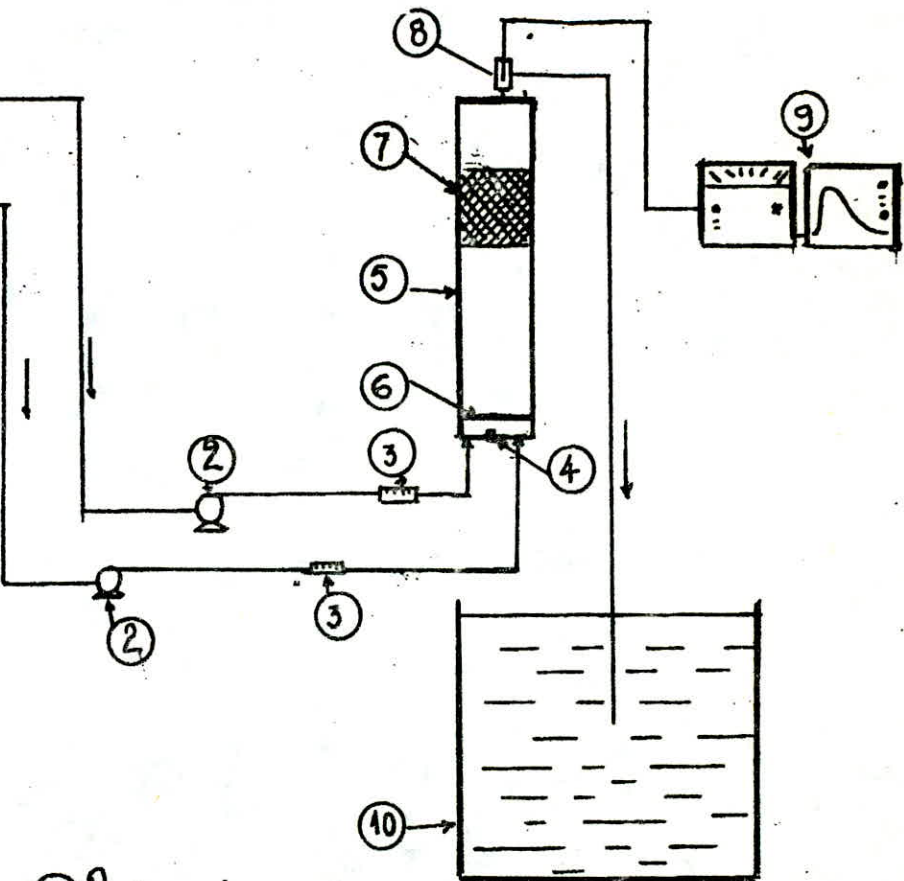
- 1/- Anneaux Raschig de diamètre  $\phi = H = 5\text{mm}$ .
- 2/- Billes en verre de diamètre  $\phi = 1,2\text{mm}$ .

— 0 —



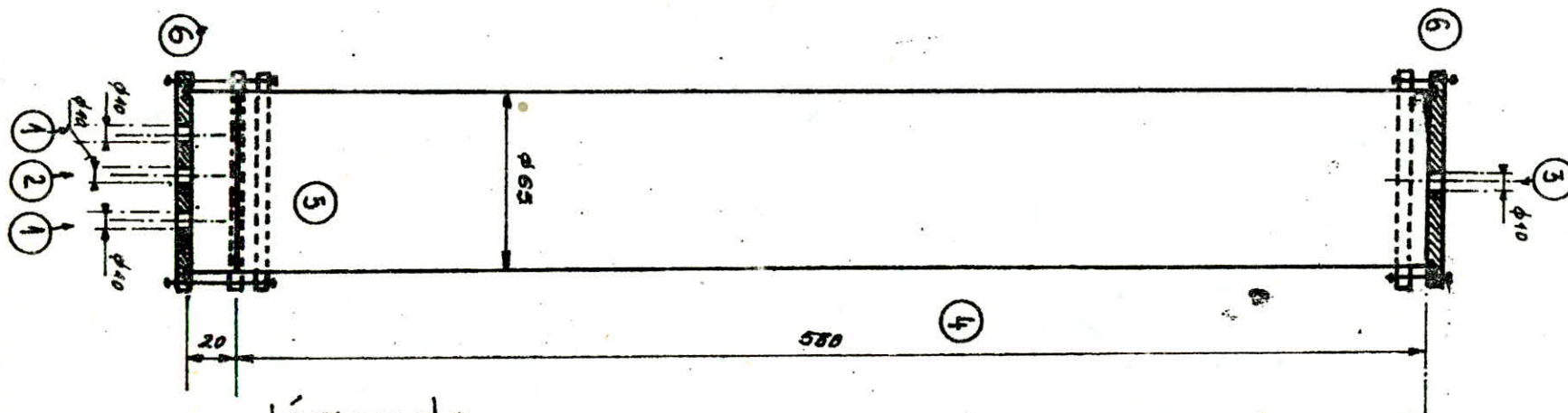
### légende

- ① Bacs de stockage d'eau de ville.
- ② pompes Centrifuge.
- ③ Débitmètres à flotteur.
- ④ Orifice pour l'injection de la solution d'HCl.
- ⑤ Réacteur.
- ⑥ Support du garnissage.
- ⑦ Portion de garnissage.
- ⑧ Sonde conductimétrique.
- ⑨ Conductimètre type TACUSSEL CD7N + Enregistreur.
- ⑩ Bac d'évacuation.



SCHEMA ET PRINCIPE DE L'INSTALLATION GENERALE

**REACTEUR TUBULAIRE**



légende:

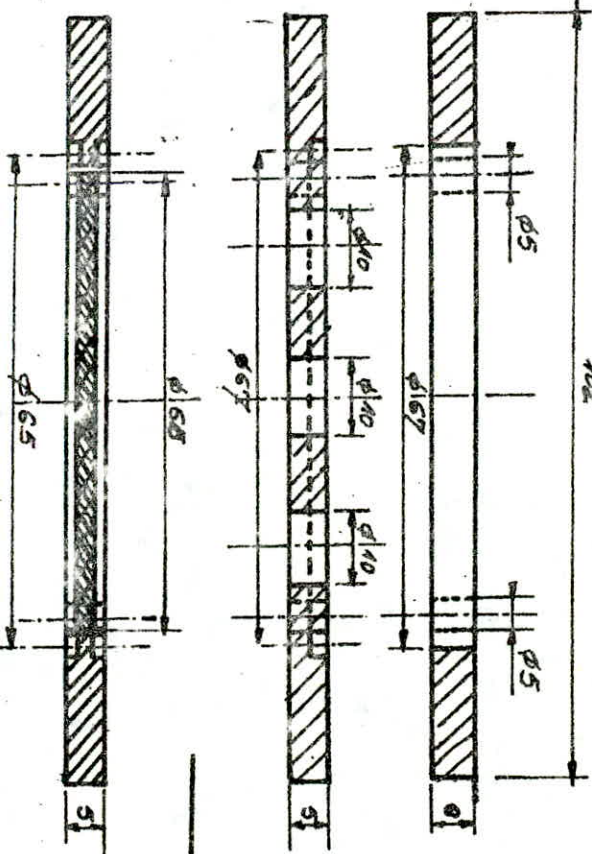
figure N°1

- (1): trous d'alimentation.
- (2): orifice d'injection de tracéur.
- (3): orifice de sortie.
- (4): tube en verre
- (5): support pour garnissage.
- (6): brides en acier.

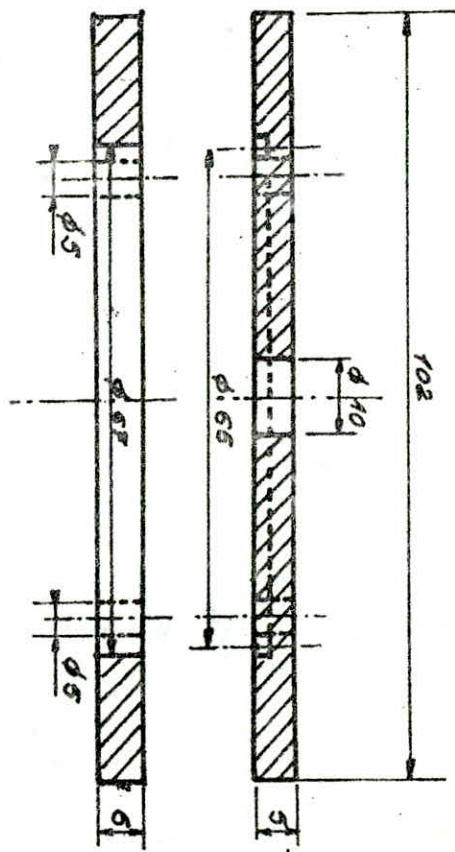
échelle: 1/3

SUPPORT POUR  
GARNISSAGE.

Schéma N°2.



BRIDE  
INFERIEURE



BRIDE SUPERIEURE

## CHAPITRE-II:

- DISTRIBUTION DES TEMPS DE SEJOUR  
DU FLUIDE DANS LES REACTEURS  
EXPERIMENTAUX

- réacteur agité continu
- réacteur tubulaire

## (II)

## II) DISTRIBUTION DES TEMPS DE SEJOUR DU FLUIDE DANS LES REACTEURS EXPERIMENTAUX

### II.A) REACTEUR AGITE CONTINU

On utilise dans ce cas le réacteur déjà présenté. Cette série d'expériences porte uniquement sur l'exploitation des courbes de Distribution de Temps de Séjour (D.T.S.E) expérimentales, en essayant de voir l'influence de la puissance d'agitation sur ces courbes.

On détermine en outre :

- Temps de séjour théorique  $T$

- Temps de séjour expérimentale  $\bar{T}_s$  à partir des courbes  $C(t)$  et  $E(t)$ .

#### I.A.1) méthode expérimentale:

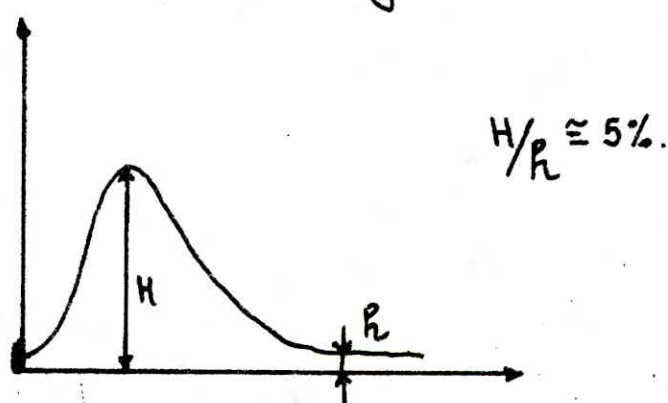
Expérimentalement la détermination de la D.T.S. a été faite par la méthode classique d'analyse de la réponse à une injection impulsionnelle de traceur. Le traceur était une solution d'acide chlorhydrique (5N).

Le volume injecté à l'aide d'une seringue ne représentait pas plus que  $1/53^{\text{cm}}_3$  du volume du réacteur, ce afin de réaliser un temps d'injection négligeable devant le temps de passage et de ne pas perturber de façon notable le débit d'alimentation.

#### mode opératoire:

Après avoir étalonner la cellule de mesure et avoir effectuer les différentes connexions entre la cellule conductimétrique - conductimètre - enregistreur, on procède au mode opératoire suivant, pour chaque manipulation. L'étalonnage de la cellule de mesure est donné par la figure.

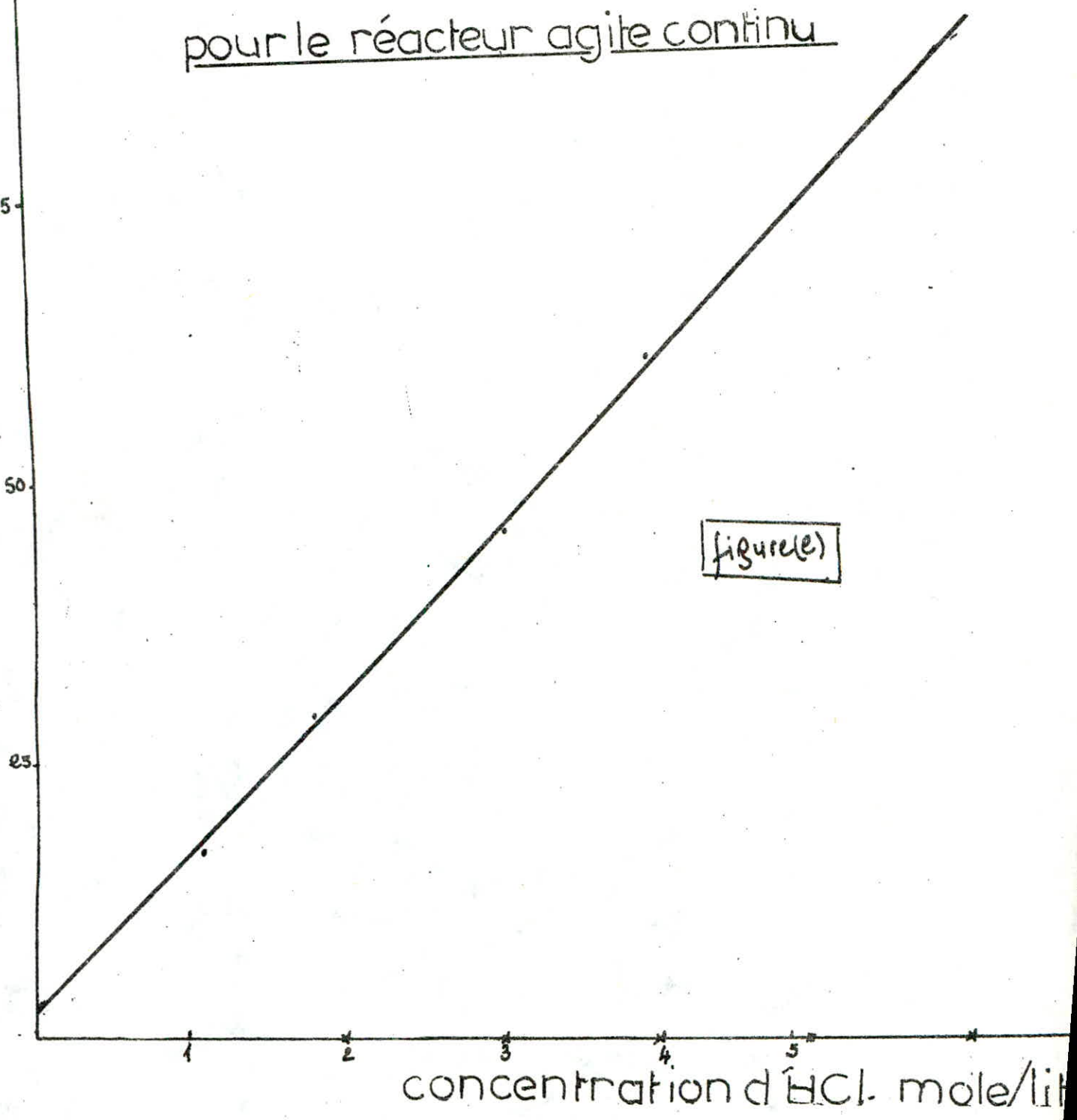
- 1°) Fixer le débit d'eau à l'aide des débitmètres.
- 2°) Attendre que le régime permanent soit établi (en procédant par mesure de débit à la sortie du réacteur jusqu'à reproducibilité).
- 3°) Mettre le moteur d'entraînement en marche à une vitesse déterminée.
- 4°) Injecter le tracéur ( $\text{HCl 5N}$ ), tout en déclenchant le chronomètre et l'enregistreur en même temps.
- 5°) Marquer alors sur le papier d'enregistrement le point qui correspond à l'injection.
- 6°) Arrêter l'enregistreur quand le rapport des hauteurs correspondant au sommet de la courbe et d'un point de la fin de la courbe est égal à 5% environ [5].



- 6°) Balayer alors par commodité de travail la gamme de débit tout en maintenant la même vitesse, en répétant les cinq premières étapes
- 7°) Recommencer les enregistrements en suivant les étapes 1, 2, 3, 4, 5 et 6, en changeant la vitesse d'agitation (3<sup>me</sup> étape).

graduation en carréaux

étalonnage de la sonde conductimétrique  
pour le réacteur agité continu



## III B) REACTEUR TUBULAIRE

### III B.1) méthode expérimentale.

Même que celle dans II.A.1.

#### mode opératoire

Effectuer les différentes connexions comme dans dans la partie II.A.1. On procède au mode opératoire suivant, après avoir fait les connexions citées précédemment.

Le tube est garni d'anneaux Raschig :

- 1°) Fixer le débit d'eau à l'aide des délimètres.
- 2°) Attendre que le régime permanent soit établi.
- 3°) Injecter le traceur HCl 5N, tout en déclenchant le chronomètre et l'enregistreur en même temps.
- 4°) Marquer alors sur le papier d'enregistrement le point qui correspond à l'injection, comme dans la partie II A.1.
- 5°) Arrêter l'enregistrement, après avoir enregistré la courbe.
- 6°) Balayer alors la gamme de débit, tout en gardant le même garnissage.
- 7°) Recommencer les enregistrements, en suivant le même mode opératoire précédent, tout en changeant le garnissage (billes en verre).

Remarque: puisqu'on travaille pas dans les mêmes conditions (calibrages du conductimètre et enregistreur) dans les deux cas

1<sup>er</sup> Cas: tube garni avec anneaux Raschig de diamètre 5mm

2<sup>nd</sup> Cas: tube garni avec billes en verre de diamètre moyen 1,3mm.

On étalonne alors dans chaque cas la cellule de mesure.

- 1<sup>er</sup> cas : La courbe d'étalonnage est donnée par la figure
- 2<sup>nd</sup> cas : La courbe d'étalonnage est donnée par la figure

exprimée en unité de carbone

graduations

étalonnage de la sonde  
conductimétrique  
réacteur tubulaire

anneaux Raschig

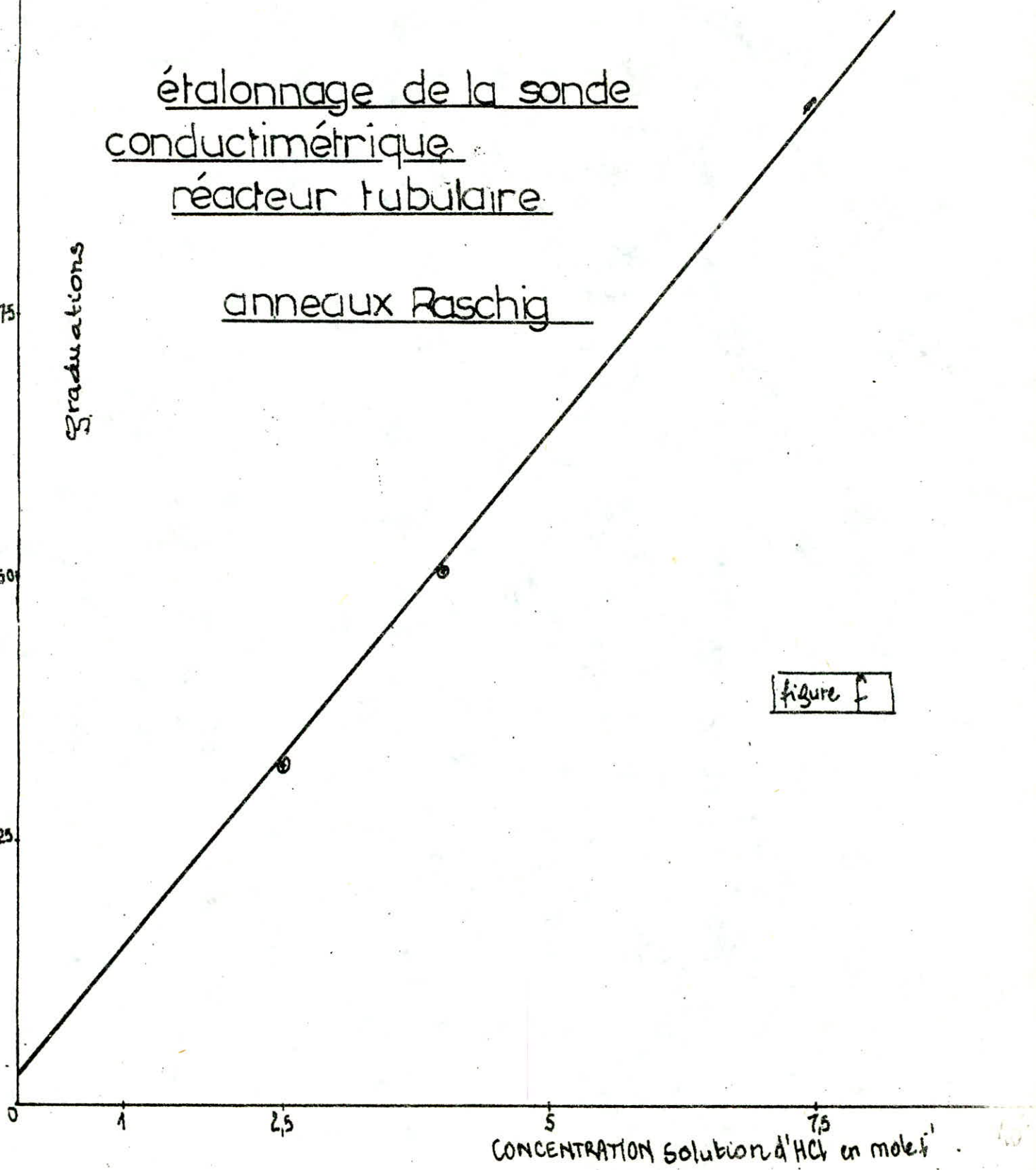
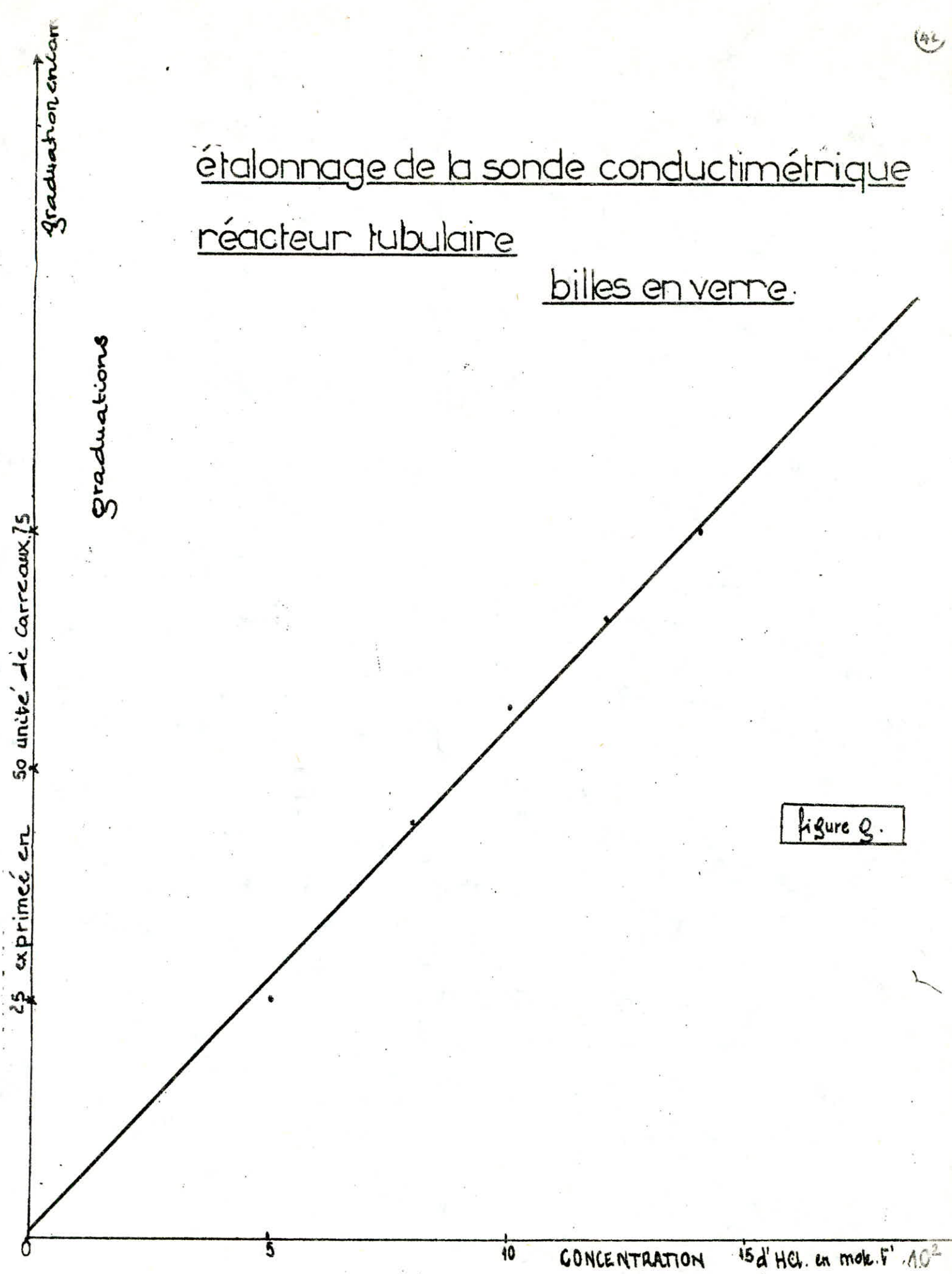


figure f

étalonnage de la sonde conductimétrique  
réacteur tubulaire

billes en verre.



## CHAPITRE IV.

- RESULTATS EXPERIMENTAUX  
- INTERPRETATIONS DES I

- .réacteur agité continu
- .réacteur tubulaire

graduation en cm.

8

7.5

7.0

6.5

6.0

5

4

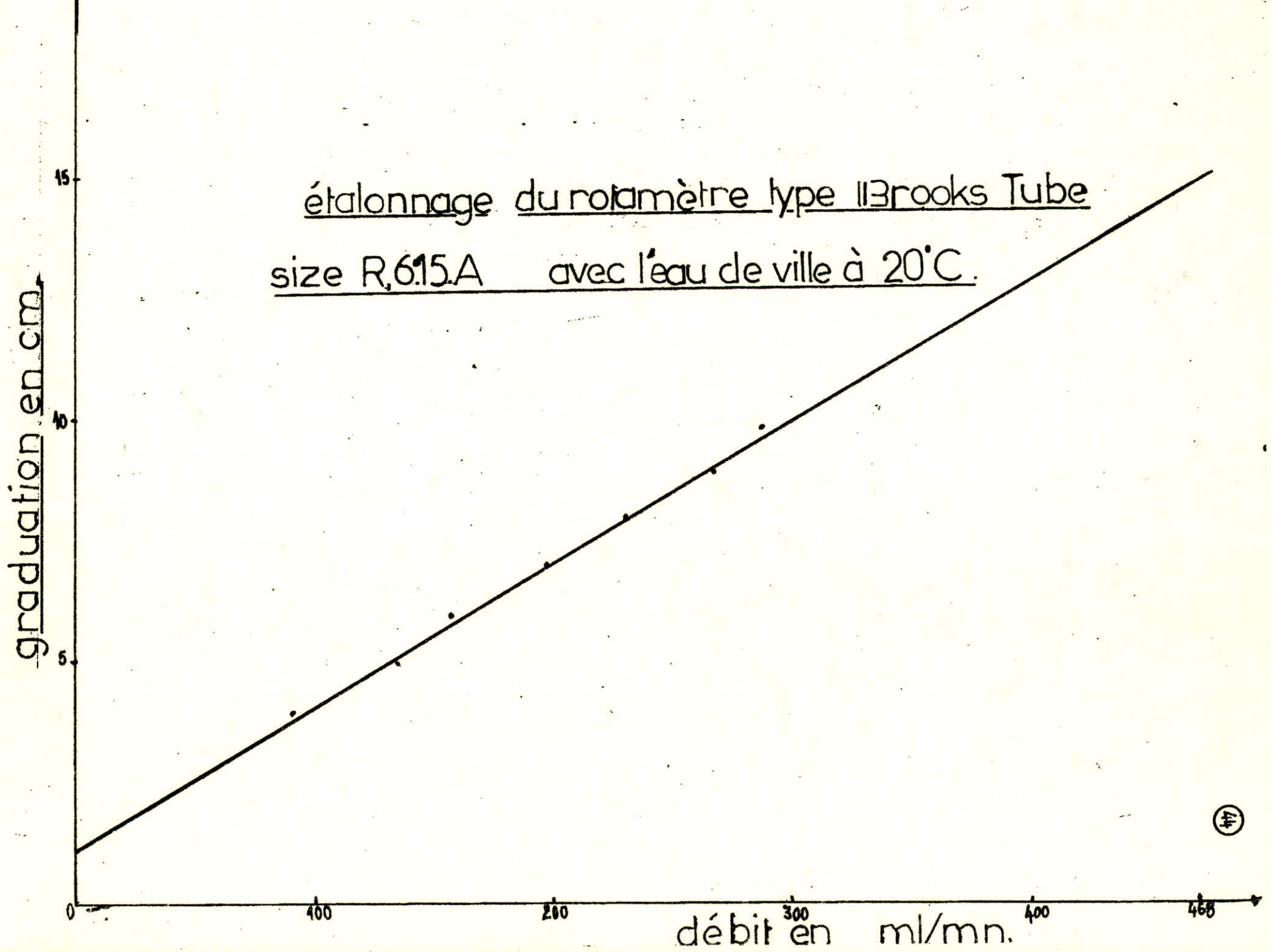
3

2

1

0

étalonnage du rotamètre type  
Brooks Tube 665 GPH water  
avec l'eau de ville à 20°C



## (III)

# RESULTATS EXPÉRIMENTAUX ET

## INTERPRETATIONS

### III.A.) REACTEUR AGITÉ

#### III.A1) Forme des courbes.

Les courbes expérimentales sont plus ou moins régulières : On note quelques irrégularités pour certaines courbes, surtout celles enregistrées avec des grandes vitesses d'agitation et des grands débits, présentent des dents en "peie"; Cela est dû aux bulles d'air résultant de l'agitation et qui il a été impossible d'éliminer (voir figures, a et b) réacteur agité

#### III.A2) conditions expérimentales

Variez dans les intervalles suivants :

Les paramètres d'étude ont

- Temps de passage	$\tau$ (s)	230,12	265,25	307,71	359	430,8
--------------------	------------	--------	--------	--------	-----	-------

. Vitesse d'agitation:

N [tours/min]	2000	1400	1000	850	600	400	350	300
---------------	------	------	------	-----	-----	-----	-----	-----

Pour nos calculs, nous avons utilisé seulement, trois temps de passage; - 230,12 p. - 359 p ; - 430,8 p. et trois vitesses ; - 2000 tours/min ; - 1000 tours/min ; - 850 tours/min.

#### III.A3) Exploitation des courbes

}

### - Differentes etapes de calcul:

Une fois la courbe C enregistré, on commence par calculer sa surface à l'aide d'un planimètre, on répète l'opération plusieurs fois jusqu'à obtention des résultats reproductibles. La surface est donnée en  $\text{cm}^2$ , il faut alors la transformer en fonction des unités choisies pour les concentrations et les temps.

La figure (e) donne ces transformations.

On a pris en ordonnée comme grandeur suivante :  $1,25 \text{ cm}$  correspond à  $0,9 \cdot 10^{-3} \text{ mole.l}^{-1}$ ; et en abscisse  $1 \text{ cm}$  correspond à 12 secondes.

### \* Tracé de la courbe E(t):

On a tracé la courbe E(t) en divisant chaque valeur de la courbe C, après avoir fait les transformations nécessaires à l'aide de la figure (e).

### \*\* Calcul de la Moyenne de la distribution:

On reprend directement les valeurs de  $E = C/s$  calculés précédemment, on choisit un intervalle de temps constant (12 s), et on calcule la moyenne  $\bar{t}$  par l'équation:

$$\bar{t} = \sum E_i \cdot t_i \cdot \Delta t$$

Les différentes valeurs de  $\bar{t}$  sont regroupées dans le tableau

### - Tracé des courbes E(t):

Nous avons tracé les courbes E(t) sur un même graphique en fonction de la vitesse d'agitation et le pour chaque temps de passage. (Voir Graphes 1, 2, 3 Réacteur agité)  
Un exemple de calcul de la moyenne est donné en annexe.

Evaluation des erreurs expérimentales:

a) Temps de passage:

$$\tau = V_R/Q$$

$$\Delta\tau/\tau = \Delta V_R/V_R + \Delta Q/Q \quad (V_R = \text{Volume du réacteur} = 3590 \text{ ml.})$$

$$\Delta V_R = 0.$$

$$\boxed{\Delta\tau/\tau = \Delta Q/Q}$$

L'erreur qu'on commet pour le débit  $Q$  est de  $\Delta Q = 14 \text{ ml/mn}$ .

Exemple de calcul:

Avec un débit  $Q = 936 \text{ ml/mn}$ , on aura un temps de passage  $\tau = 230,12 \text{ s}$ .

d'où :

$$\Delta\tau/\tau = \frac{\Delta Q}{Q} = \frac{14}{936} = 1,49\%$$

ce qui donne une erreur absolue  $\Delta\tau = \frac{\tau \times 1,49}{100} = 3,42 \text{ s}$ .

Les tableaux ① regroupent les valeurs de  $\tau$  et  $\Delta\tau/\tau$  pour chaque vitesse d'agitation.

b) Volumes morts:

$$\text{On a } V_m/V_R = 1 - \bar{t}/\tau$$

Exemple: pour un temps de passage  $\tau = 230,12$  et une vitesse d'agitation  $N_i = 2000 \text{ tours/mn}$ .

$$\text{On aura: } V_m/V_R = 1 - \frac{207,63}{230,12} = 9,77\%$$

d'où un volume mort de  $V_m = 350,74 \text{ ml}$ .

Les tableaux N° 2 regroupent les valeurs des  $V_m$  pour chaque vitesse et chaque temps de passage.

Le calcul d'erreur sur  $V_m$  est donné comme suit:

$$\text{on a } V_m = V_R \left( 1 - \frac{\bar{t}}{T} \right)$$

$$\Delta V_m / V_m = \Delta V_R / V_R + \Delta T / T + \Delta \bar{t} / \bar{t} - \Delta \bar{t} / T - \bar{t}$$

$$\Delta V_R = 0 \quad (V_R = \text{constant})$$

bien que  $\bar{t}$  soit été calculé à l'aide d'une expression approchée on considère que  $\Delta \bar{t}$  est négligeable devant  $\Delta T$ .

Exemple de calcul de  $\Delta V_m / V_m$ :

Pour un temps de passage  $T = 230,12 \text{ s}$  et une vitesse  $N_1 = 2000 \text{ tours/min}$ . et  $V_m = 350,74 \text{ ml}$ . et un  $\Delta T = 3,42 \text{ s}$ . L'erreur relative qu'on somme sur le calcul de  $V_m$  est :

$$\Delta V_m / V_m = \Delta T / T + \Delta T / T - \bar{t} = \frac{14}{936} + \frac{3,42}{230,12 - 207,63} = 16,69\%$$

d'où un  $\Delta V_m = \frac{V_m \times 16,69}{100} = 58,53 \text{ ml}$ .

et  $V_m = (350,74 \pm 58,53) \text{ ml}$ .

les différentes valeurs de  $V_m$  et de l'erreur relative sont regroupées dans les tableaux N° 2.

### III A) Interprétations des résultats

a) Avec le débit: (Temps de passage)

d'augmentation du débit diminue les volumes morts pour une même vitesse d'agitation fixé. Les résultats sont donnés dans les tableaux ci-dessous:

$N_1 = 2000 \text{ tours/min}$	$T (\text{secondes})$	430,8	359	230,12
	$V_m (\text{ml})$	497,57	479,62	350,74

$N_2 = 1000$  tours/mn.

$\bar{\tau}$ (secondes)	430,8	359	230,12
$V_m$ (ml.)	256,6	240	198,52

$N_3 = 850$  tours/mn.

$\bar{\tau}$ (secondes)	430,8	359	230,12
$V_m$ (ml.)	339,66	328,48	198,52

Ceci s'explique facilement par le fait que lorsqu'on augmente le débit (pour des temps de passage petits) la turbulence augmente, ce qui améliore le mélangeage.

### b) Avec la vitesse d'agitation:

Pour le temps de passage  $\bar{\tau}_1$  ( $Q_1 = 936$  ml/mn.) on constate que l'augmentation de la vitesse augmente le volume mort.

Le volume mort le plus faible est obtenu pour une vitesse de 850 tours/min.

Par contre dans les deux autres cas ( $\bar{\tau}_2 = 359$  s.,  $\bar{\tau}_3 = 430,8$  s.), le volume mort le plus petit est obtenu à une vitesse d'agitation de 1000 tours/mn.

Les tableaux, ci-dessous montre l'évolution des volumes morts en fonction de la vitesse d'agitation et se pour un temps de passage :

\*  $\bar{\tau}_1 = 230,12$  s.:

$N$ (tours/mn.)	2000	1000	850
$V_m$ (ml.)	350,74	230,11	198,52

\*\*)  $\bar{\tau}_2 = 359$  s.:

$N$ (tours/mn.)	2000	1000	850
$V_m$ (ml.)	479,62	240	328

\*\*)  $\bar{\tau}_3 = 430,8$  s.:

$N$ (tours/mn.)	2000	1000	850
$V_m$ (ml.)	497,57	256,6	339,66

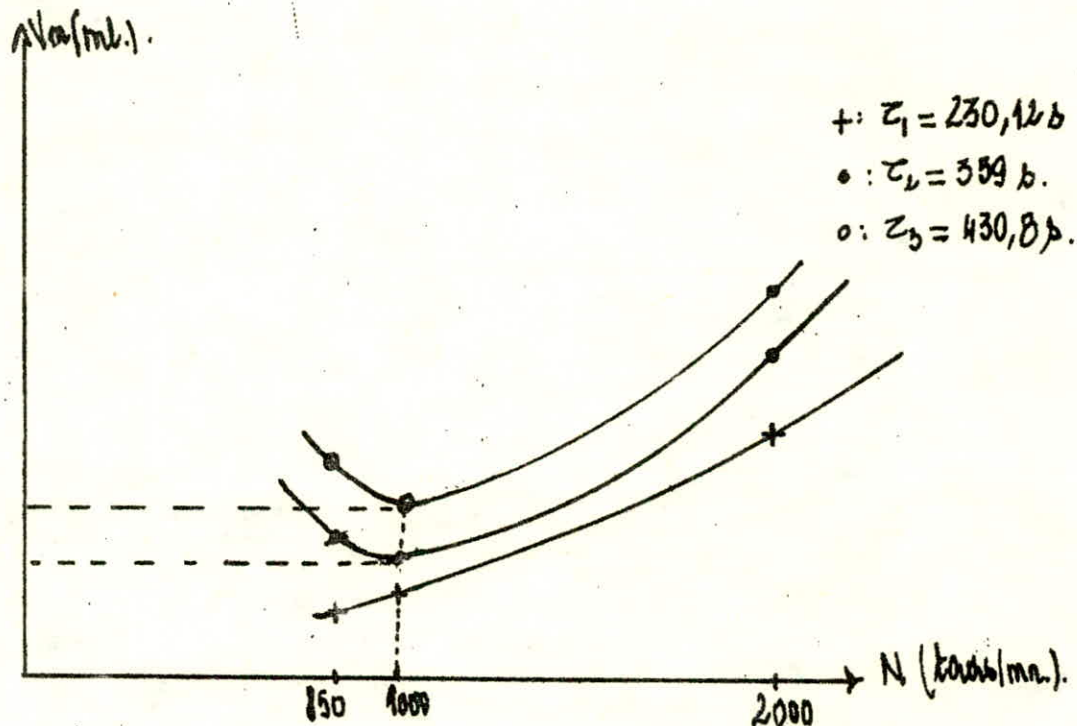
Ceci peut s'expliquer que pour une vitesse d'agitation très grande ( $N = 2000 \text{ tours/mn.}$ ) le phénomène de vortex apparaît et surtout, des réactifs de petit volume (notre cas). Les résultats obtenus montrent bien qu'il diminue la qualité du mélangeage.

### III A) Conclusion :

Pour des temps de passage plus faibles que  $\tau_1 = 230,12 \mu$  (ou des débits d'alimentation  $Q_0 > 936 \text{ ml/mn.}$ ), l'augmentation de la vitesse d'agitation augmente les volumes morts.

Par contre en augmentant le temps de passage  $\tau$  la courbe obtenue (figure ci-dessous) en représentant les volumes morts ( $V_m$ ) en fonction de la vitesse d'agitation ( $N$ ) on passe par un minimum.

On remarque bien que l'influence que provoque la vitesse d'agitation sur la qualité du mélangeage dépend fortement du temps de passage auquel on se place (figure ci-dessous).



(61)

Tableaux N° 2.

Débit: $Q = 936 \text{ ml/mn.}$						
Vitesse d'agitation tours/min.	$\Sigma (\text{b.})$	$\bar{\epsilon}_s (\text{b.})$	$1-\bar{\epsilon}_s/\Sigma (\%)$	$V_m (\text{ml.})$	$\Delta V_m/V_m (\%)$	$\Delta V_m (\text{ml.})$
$N_1 = 2000$	230,12	207,65	9,77	350,74	16,69	58,53
$N_2 = 1000$	230,12	215,35	6,45	231,55	24,64	57,05
$N_3 = 850$	230,12	217,39	5,53	198,52	28,35	56,28

Débit: $Q = 600 \text{ ml/mn.}$						
vitesse d'agitation tours/min.	$\Sigma (\text{b.})$	$\bar{\epsilon}_s (\text{b.})$	$1-\bar{\epsilon}_s/\Sigma (\%)$	$V_m (\text{ml.})$	$\Delta V_m/V_m (\%)$	$\Delta V_m (\text{ml.})$
$N_1 = 2000$	359	311,02	13,36	479,62	19,49	93,47
$N_2 = 1000$	359	335,67	6,49	238,99	37,66	87,74
$N_3 = 850$	359	326,14	9,15	328,48	27,4	90,00

Débit: $Q = 500 \text{ ml/mn.}$						
vitesse d'agitation tours/min.	$\Sigma (\text{b.})$	$\bar{\epsilon}_s (\text{b.})$	$1-\bar{\epsilon}_s/\Sigma (\%)$	$V_m (\text{ml.})$	$\Delta V_m/V_m (\%)$	$\Delta V_m (\text{ml.})$
$N_1 = 2000$	430,8	371,06	13,86	497,57	22,86	113,74
$N_2 = 1000$	430,8	400,09	7,12	255,60	41,76	106,73
$N_3 = 850$	430,8	390,04	9,46	339,61	32,21	109,38

## Tableaux N° 1.

Vitesse d'agitation = 2000 tours/min.				
Débits [ml/mm]	$\Sigma$ (s.)	$\Delta\Sigma/\Sigma (%)$	$\Delta\Sigma$ (s.)	$E_s$ (s.)
$Q_1 = 936$	230,12	1,49	3,42	207,63
$Q_2 = 600$	230,359	2,30	8,25	311,02
$Q_3 = 500$	430,8	2,8	12,06	371,06

Vitesse d'agitation = 1000 tours/min.				
Débits [ml/mm]	$\Sigma$ (s.)	$\Delta\Sigma/\Sigma (%)$	$\Delta\Sigma$ (s.)	$E_s$ (s.)
$Q_1 = 936$	230,12	1,49	3,42	215,35
$Q_2 = 600$	359	2,30	8,25	335,67
$Q_3 = 500$	430,8	2,80	12,06	400,09

Vitesse d'agitation = 850 tours/min.				
Débits [ml/mm]	$\Sigma$ (s.)	$\Delta\Sigma/\Sigma (%)$	$\Delta\Sigma$ (s.)	$E_s$ (s.)
$Q_1 = 936$	230,12	1,49	3,42	217,39
$Q_2 = 600$	359	2,30	8,25	326,14
$Q_3 = 500$	430,8	2,80	12,06	390,04

$E(t) \cdot 10^3$

## REACTEUR AGITE

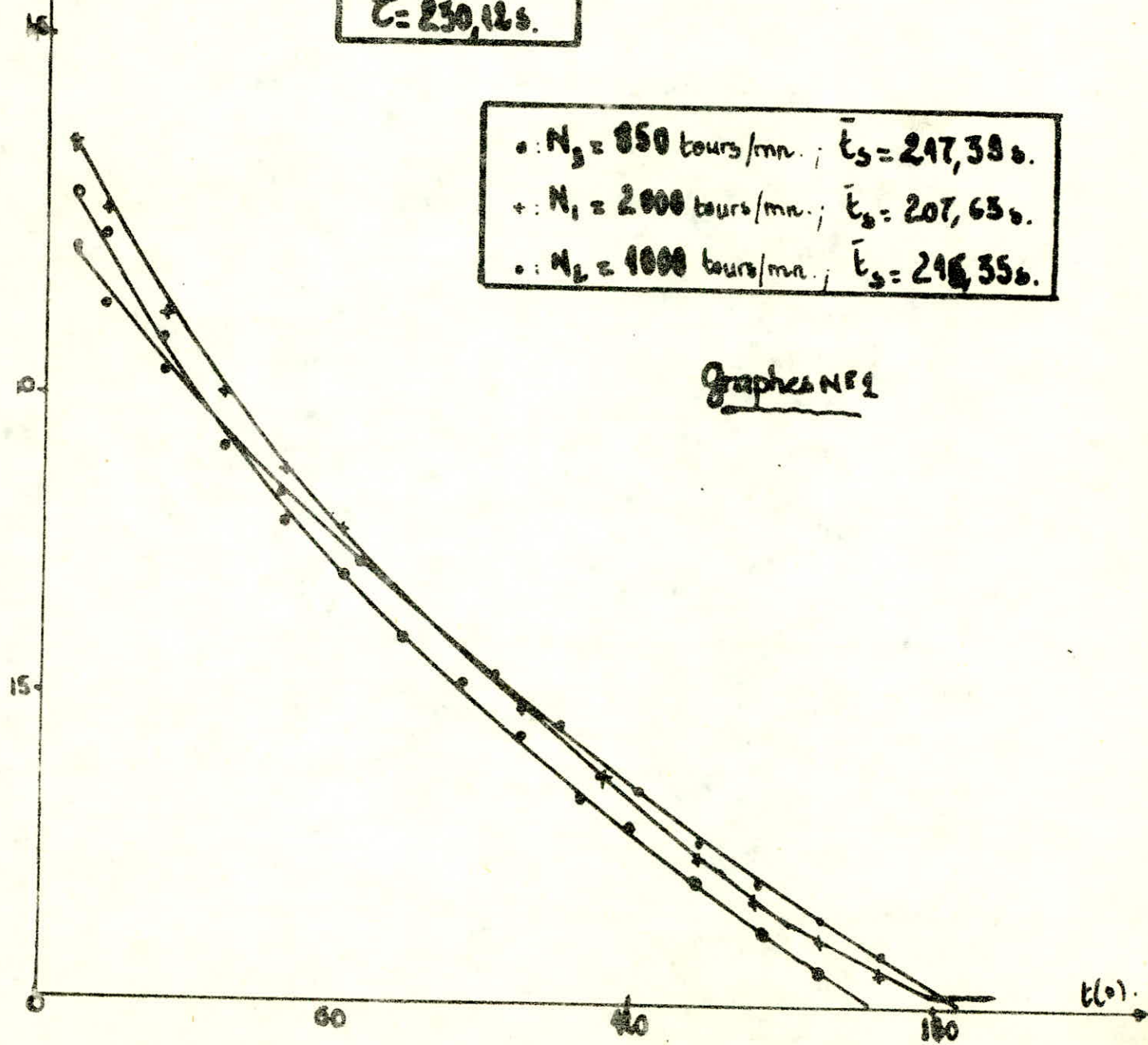
$$T = 230,18 \text{ s.}$$

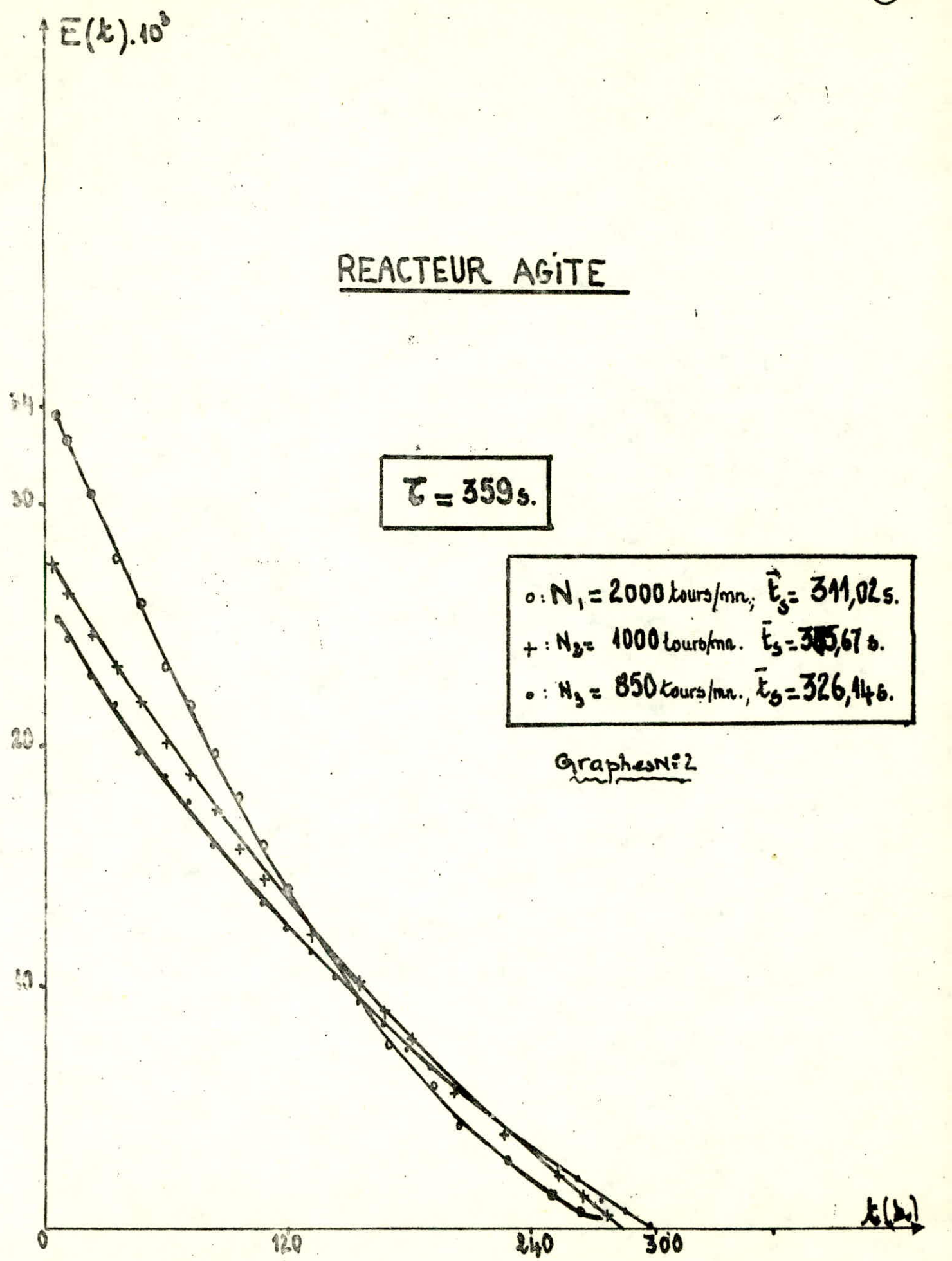
$$\therefore N_s = 850 \text{ tours/mn.} ; \bar{t}_s = 247,39 \text{ s.}$$

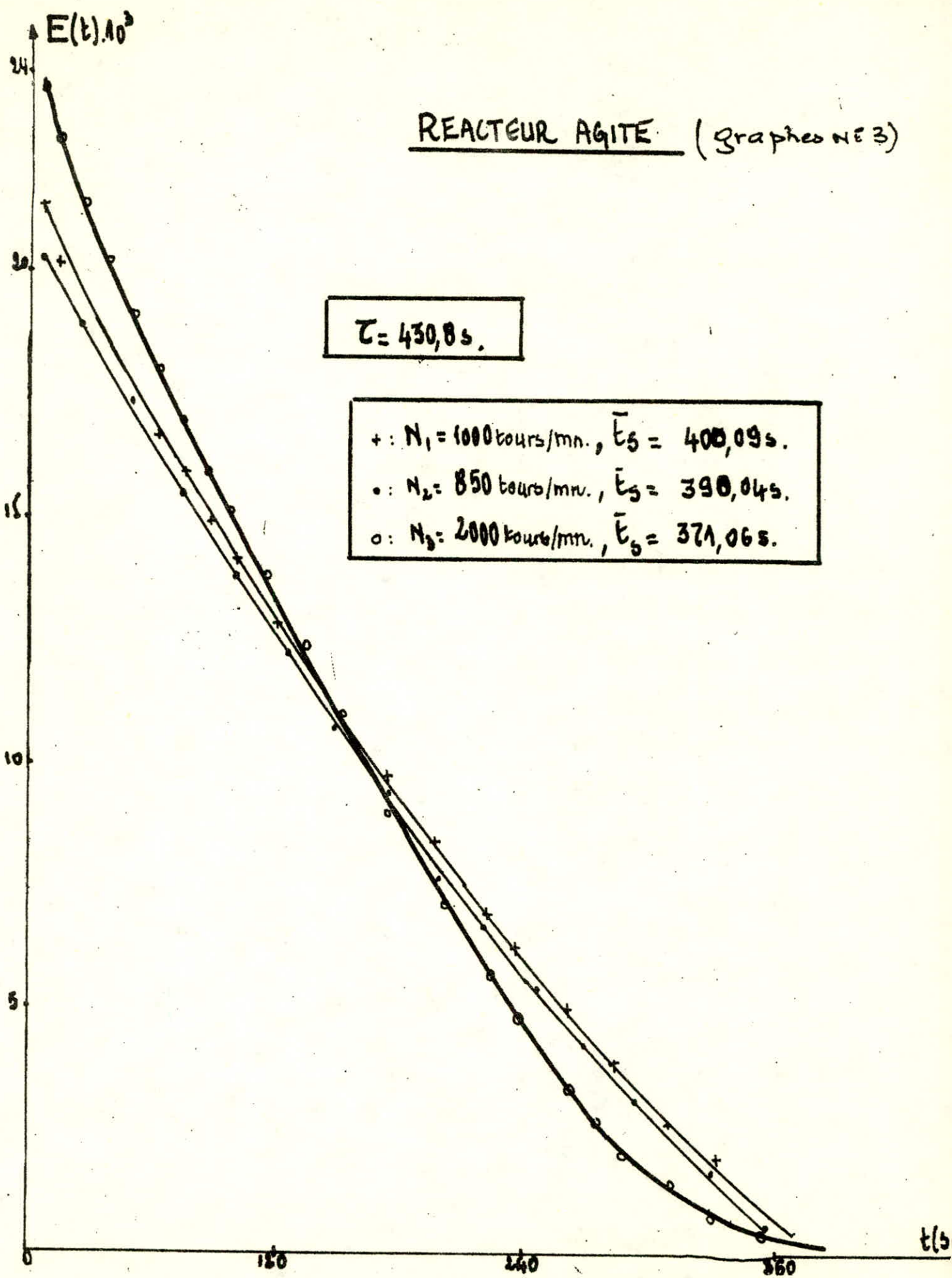
$$\therefore N_s = 2000 \text{ tours/mn.} ; \bar{t}_s = 207,63 \text{ s.}$$

$$\therefore N_s = 1000 \text{ tours/mn.} ; \bar{t}_s = 246,35 \text{ s.}$$

Graphes N° 2





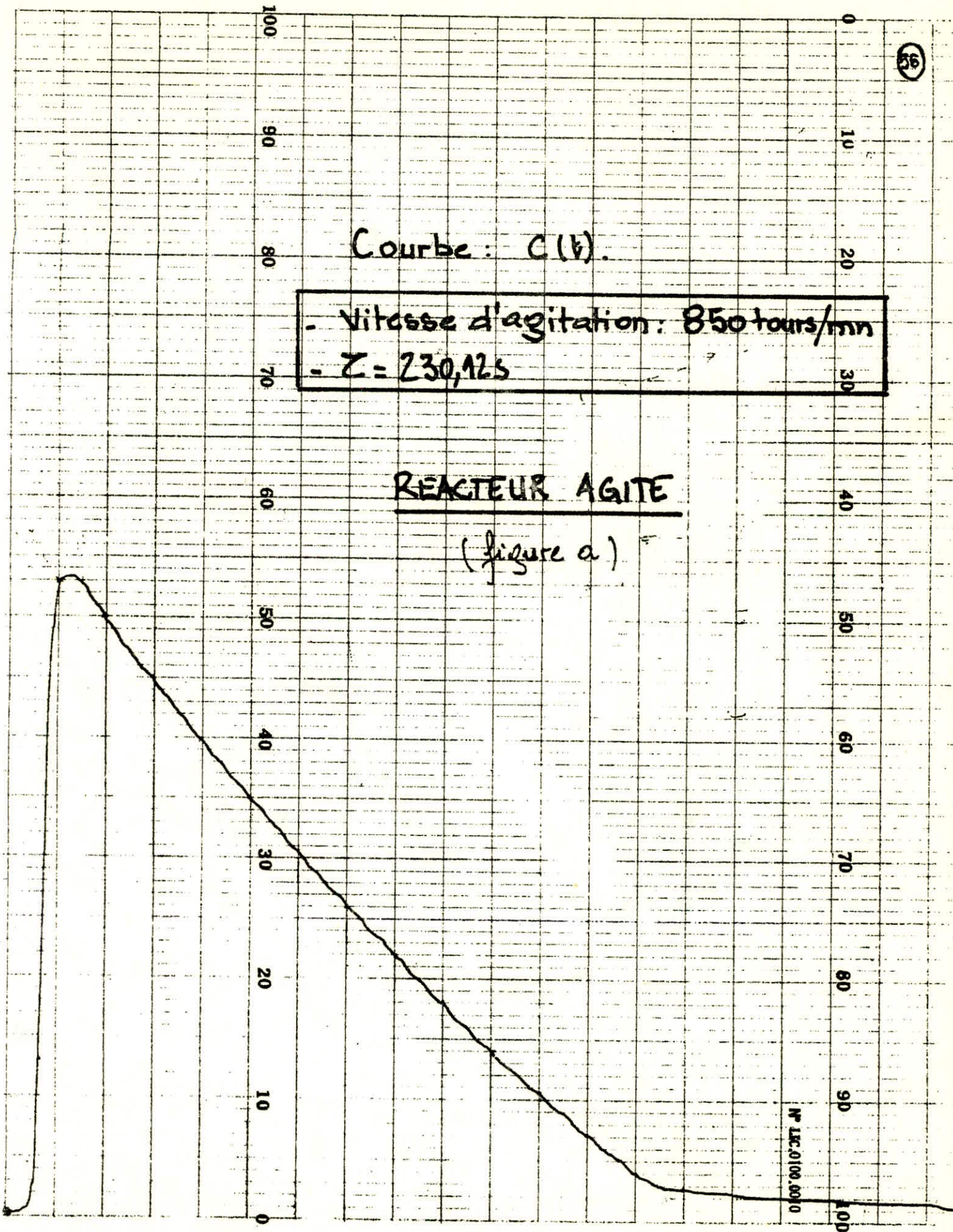


Courbe: C(IV).

- Vitesse d'agitation: 850 tours/mn
- $\tau = 230,12\text{s}$

### REACTEUR AGITE

(figure a)



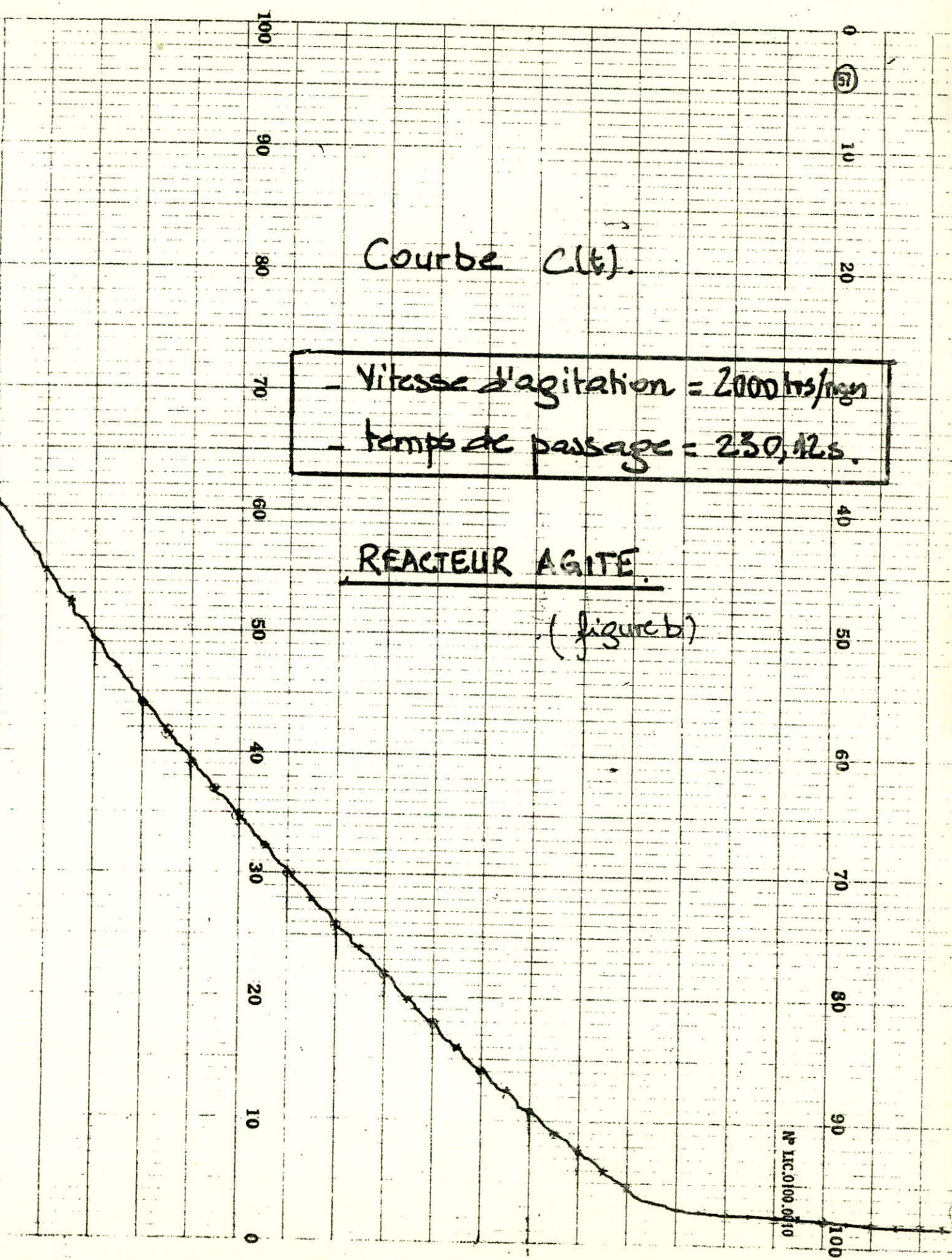
Courbe  $C(t)$ .

- Vitesse d'agitation = 2000 ltrs/min
- temps de passage = 230,12 s.

REACTEUR AGITE.

(figure b)

N° LIC.0000.0010



### III.B) REACTEUR TUBULAIRE

#### III.b) forme des courbes:

Les courbes expérimentales obtenues sont régulières et ne présentent aucune cassure.  
Le temps mort de la réponse diffère d'une expérience à l'autre.  
Le moyen de courbure des sommets des courbes et différent pour chaque expérience (voir figure e et à reacteur tubulaire)

#### III.B) conditions expérimentales

des paramètres d'études sont dans le cas le temps de passage  $\tau$  et le type de garnissage.  
Nous avons fait varier ces paramètres dans les intervalles suivants:

##### - Temps de passage $\tau$ :

$\tau$ (s.)	106,5	142,2	199,05
-------------	-------	-------	--------

##### • Type de garnissage:

Type	Tube vide	Tube rempli de billes en verre	Tube rempli d'armement racheté
Dimensions (mm.)	$\phi = 62$ $L = 530$	$\phi_m$ de billes = 4,3	$\phi = 11 \times 5$ mm.

On remarque que dans le cas du tube vide les résultats ne sont pas du tout satisfaisants. Ceci est dû aux conditions expérimentales (temps de passage assez grand, diamètre du réacteur relativement grand.)

En général pour s'approcher de l'écoulement piston il faut prendre au minimum  $L/\Phi = 100 [8]$   
Malheureusement nous sommes limités dans le choix des dimensions par les moyens existants au département.

### III.B.3 exploitation des courbes :

L'exploitation des courbes se fait de la même façon que celles dans la partie IIIA.2 du réacteur agité. Les transformations en unités choisies pour les concentrations sont données pour les deux séries d'expériences par les figures f et g réacteur tubulaire

#### - Calcul de la moyenne:

C'est un paramètre qui nous permet dans ce cas d'évaluer les courts-circuits. Le calcul de ce paramètre se fait de la même façon que celle du réacteur agité des tableaux N° (1) et N° (1') regroupent les différentes valeurs de temps de séjour expérimentale pour les deux types de corps de remplissage.

#### - Tracé des courbes E(t):

Le tracé des courbes  $E(t)$  se fait sur un même graphe avec le temps de passage  $\tau$  comme paramètre pour chaque corps de remplissage. (Voir graphes 1 et 2 réacteur tubulaire)

#### - Calcul d'erreur:

Temps de passage: c'est le même que celui déjà traité dans la partie réacteur agité.

#### - Court-circuit

$$Q_c = Q(1 - \tau/\bar{t}) -$$

$$\Delta Q_c/Q_c = \Delta Q/Q + \Delta \bar{t}/\bar{t} + \frac{\Delta \bar{t}}{\bar{t} - \tau} + \frac{\Delta \tau}{\bar{t} - \tau}$$

$\Delta t$  négligeable devant  $\Delta \tau$ .

$$\text{d'où } \boxed{\frac{\Delta Q_c}{Q_c} = \frac{\Delta Q}{Q} + \frac{\Delta \tau}{t - \tau}}$$

Un exemple de calcul :

pour le réacteur garni avec anneaux rachis.  
 $Q = 936 \text{ ml/mn}$ .

$$\frac{\Delta Q_c}{Q_c} = 0,0149 + \frac{1,58}{117,96 - 106,5} = 15,04\%$$

$$\text{d'où } \Delta Q_c = 14,87 \text{ ml/mn.}$$

Les tableaux N° ② et ③ regroupent les différentes valeurs de  $\tau$  et erreurs relatives ainsi que les courts-circuits et les erreurs relatives qu'on somme sur les dernières pour les deux types de garnissage.

### III.B.4) Interprétation des résultats

#### Calcul de $\bar{t}$ :

Le calcul du temps de séjour expérimental peut être évalué quantitativement à partir de la courbe réponse du traceur.

Le calcul montre une nette différence entre le temps de séjour  $\bar{t}$  et le temps de passage  $\tau$ . A chaque fois on obtient  $\bar{t}$  supérieur à  $\tau$ , ce qui est en principe l'indice de court-circuit.

#### évolution des courts circuits : Influence du temps de passage

Dans les deux séries d'expériences

on remarque bien que le court-circuit diminue quand le temps de passage diminue, comme le montre les tableaux ci-dessous.

- Court-circuit dans le réacteur garni de billes en verre en fonction du temps de passage  $\tau$ :

Temps de passage (s.)	199,03	142,2	106,5
Court-circuit (m/m)	85,78	63,09	54,56

- Court-circuit dans le réacteur garni d'anneaux raschig en fonction du temps de passage  $\tau$ .

Temps de passage (s.)	199,03	142,2	106,5
Court-circuit (m/m)	83,76,25	110,25	99,59

Ceci est logique puisque en diminuant le temps de passage, l'effet du mélange longitudinal diminue, autrement dit la diffusion longitudinale diminue et le profil des vitesses s'aplatit [3]. En général on évalue l'importance de la diffusion longitudinale par la largeur du pic.

### b) Influence du type de garnissage:

On constate qu'avec les billes en verre la largeur du pic est plus étroite que celle obtenue avec les anneaux raschig et ce pour une vitesse de tourant donnée.  
(Voir figure 1 et 2 réacteur hubulaire courbes E(t)).

Les tableaux ci-dessous montrent l'évolution des courts circuits en fonction du type de corps de remplissage pour un temps de passage fixé.

On peut expliquer cela par le fait que les billes en verre présentent une surface de contact supérieure à celle des anneaux raschig.  
Donc en augmentant la surface de contact, le profil hydrodynamique devient plus plat et la largeur du pic diminue et d'où le court-circuit diminue.

(6)

TABLEAU DONNANT L'EVOLUTION DES COURTS-CIRCUITS  
EN FONCTION DU TYPE DE GARNISSAGE, POUR UN  
TEMPS DE PASSAGE FIXE.

Billes en verre	ANNEAUX RASCHIG.
$Q_{Ct}$ (ml/mn)	$Q_C$ (ml/mn.)
$Z_1 = 106,35$	54,56
$Z_2 = 142,25$	63,09
$Z_3 = 199,035$	65,15
	99,59
	110,25
	116,25.

On pourra évaluer le coefficient de dispersion  $D_y$  dans le cas où l'écart entre le temps de passage et le temps de séjour moyen est petit; en calculant la variance  $\sigma^2$  et faire de par l'équation suivante [5]:

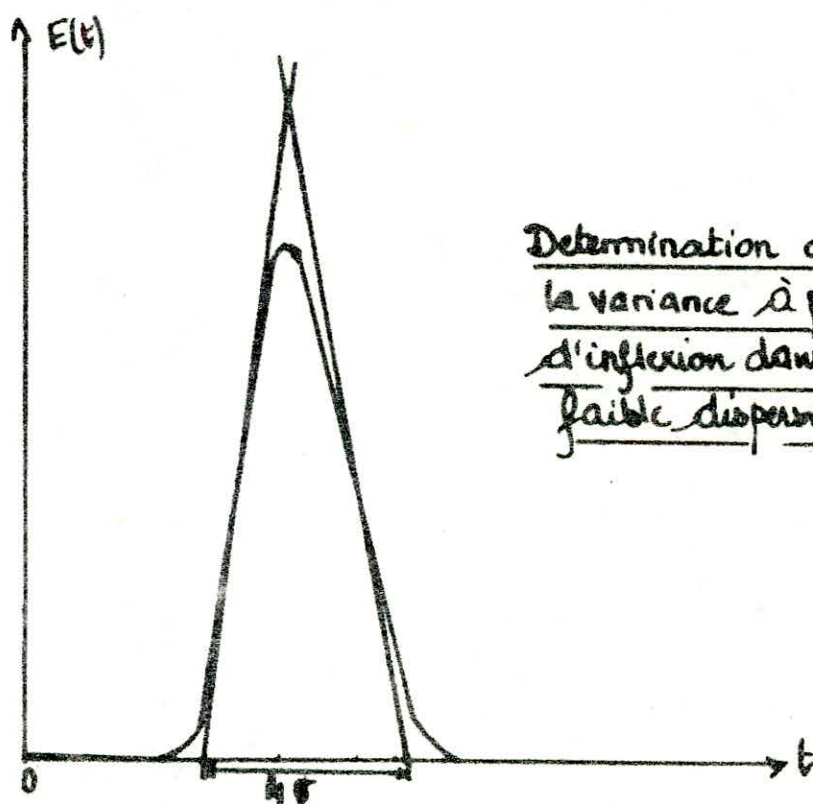
$$\sigma^2 = 2 D_y w_L \quad \text{où } w: \text{vitesse linéaire du courant.}$$

## II.B.5) représentation du réacteur réel par le model des mélangeurs en cascade

En utilisant la relation:

$$\sigma^2 = \frac{\tau^2}{j}$$

On peut trouver le nombre de mélangeurs ( $j$ ) en cascade représentant notre réacteur expérimental.  
L'écart type  $\sigma$  peut être déterminer graphiquement, par la méthode donnée par LEVENSPIEL [4] qui est la suivante:



Determination approximative de la variance à partir des tangentes d'inflexion dans le cas d'une faible dispersion axiale.

(64)

La détermination de la variance de la distribution expérimentale par cette méthode a donné les résultats suivants :

On avait pris la distribution qui représente le plus petit court-circuit dans les deux types de garnissage.

Réacteur tubulaire garni de billes en verre de  $\phi = 1,3 \text{ mm}$ :

Le résultat trouvé est :

$$4\sigma = 52 \text{ s.}$$

$$\text{d'où } \sigma = 13$$

On tire  $j$  le nombre de mélangeurs par

$$j = \frac{\bar{t}^2}{\sigma^2} = \frac{(112,4)^2}{(13)^2} = 74,4 \text{ mélangeurs.}$$

Le réacteur expérimental peut-être représenté par

$$j = 74,4 \text{ mélangeurs.}$$

- Réacteur tubulaire garni avec d'anneaux Raschig de  $\phi = L = 5 \text{ mm}$ .

On trouve :

$$4\sigma = 87 \text{ s.} \quad \text{d'où } \sigma = 21,75.$$

$$\text{On tire } j = \frac{\bar{t}^2}{\sigma^2} = \frac{(98,86)^2}{(21,75)^2} = 31,28 \text{ mélangeurs}$$

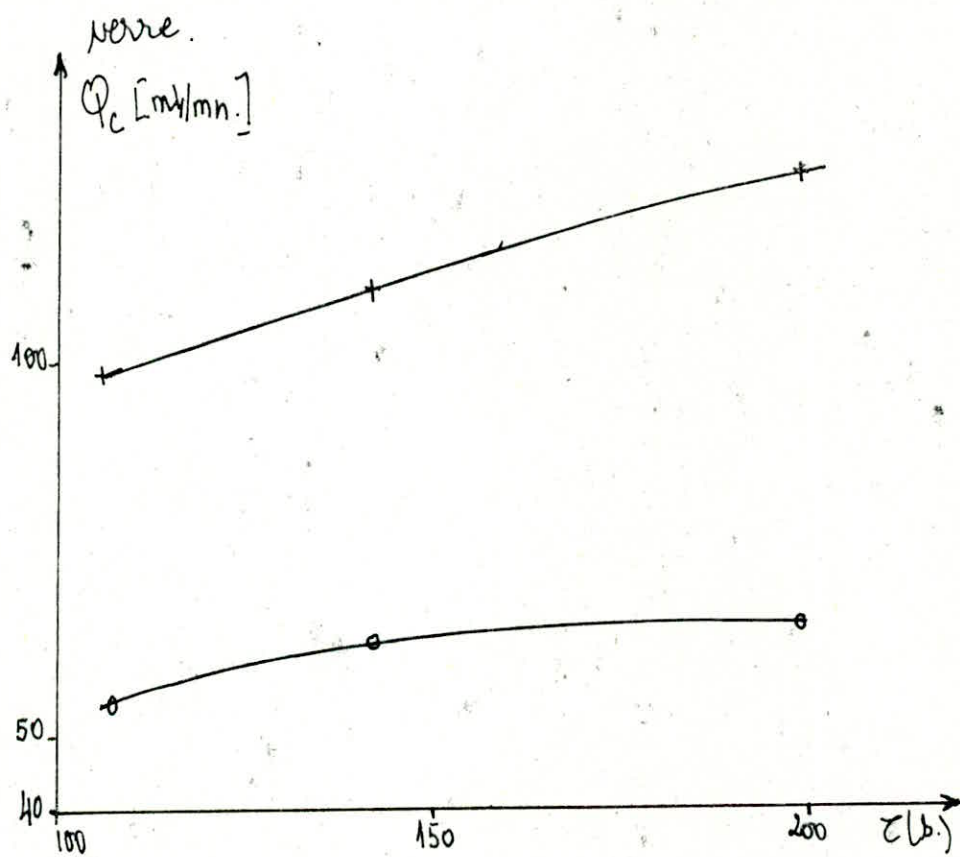
$$j = 31,28 \text{ mélangeurs}$$

## Conclusion

Pour des surfaces de contact supérieures à celle des billes en verre, l'augmentation des temps de passage augmente le court-circuit.

On remarque aussi qu'en augmentant la surface de contact et la peinte des courbes ( $Q_c = f(\tau)$ ) décroît rapidement avec le temps (voir courbes ci-dessous) en étant jamais négative, et ceci est particulièrement nette dans les conditions opératoires suivantes:

$106,3 \leq \tau \leq 199 \mu$ . , surface de contact celle des billes en verre.



+ : garnissage anneaux rachig.  $\bar{\Phi} = H = 5 \text{ mm}$ .

o : garnissage : billes en verre  $\bar{\Phi}_{\text{moyen}} = 1,3 \text{ mm}$ .

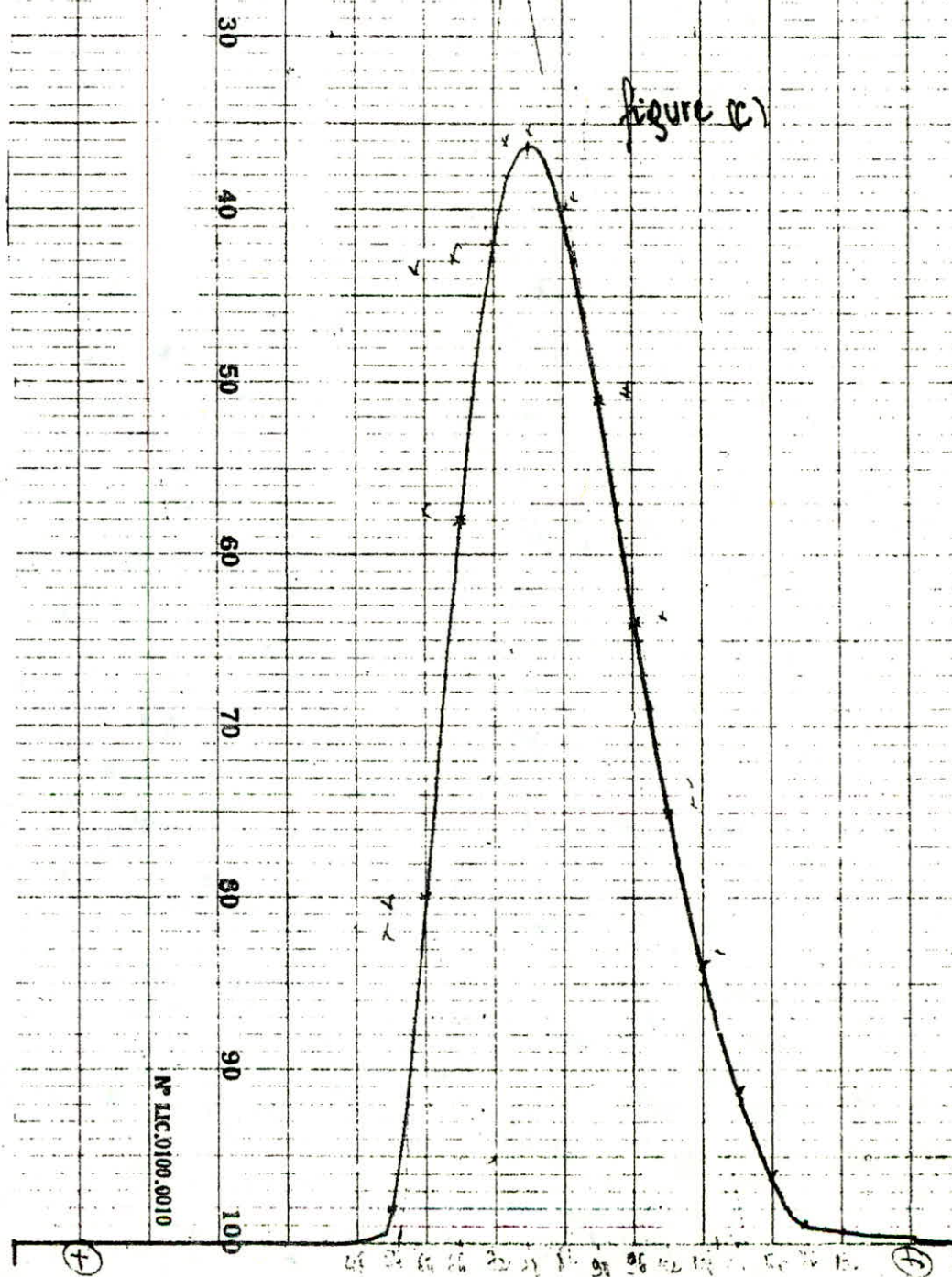
REACTEUR TUBULAIRE

(55)

Garnissage : ANNEAUX RASCHIG.

Temps de passage = 106,3s.

Figure (c)



(6)

## REACTEUR TUBULAIRE

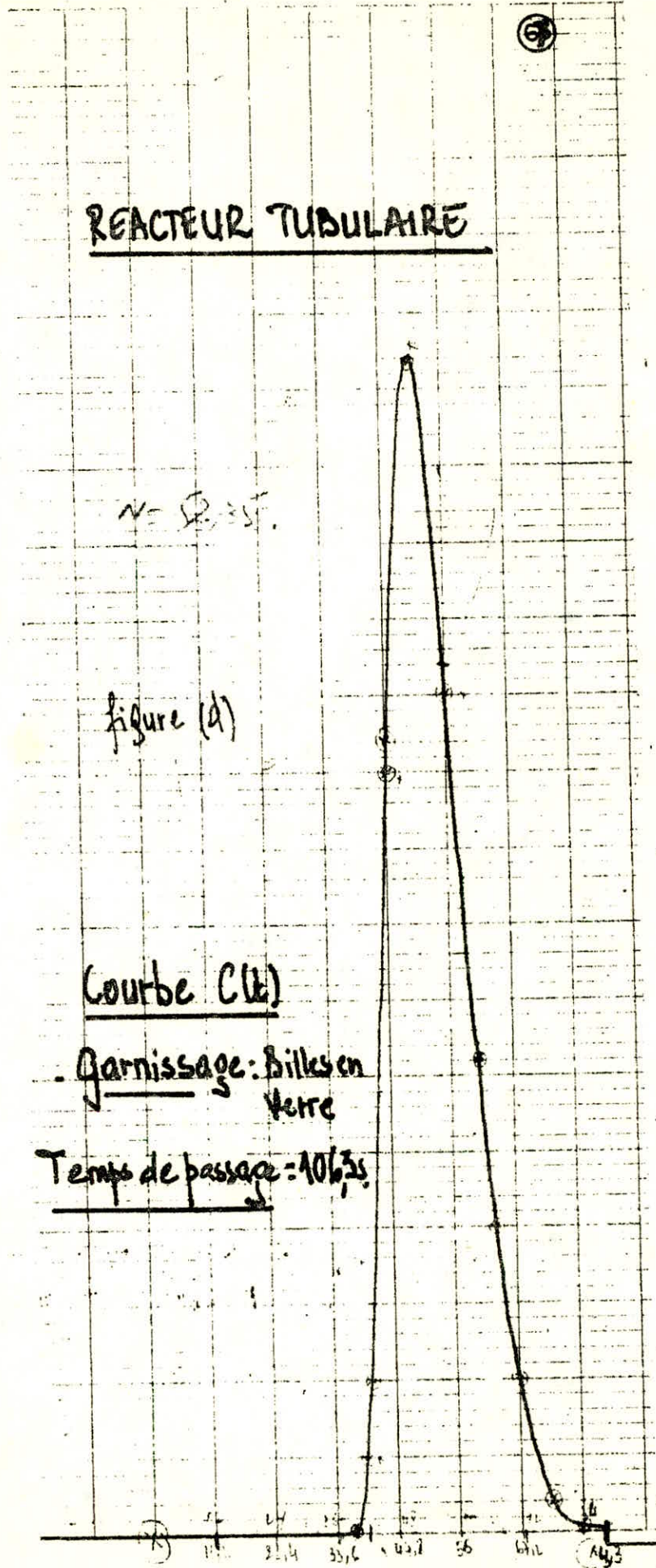
$N = 52,35$

figure (d)

Courbe C(b)

Garnissage: Billes en  
Verre

Temps de passage = 106,3s.



$E(t) \cdot 10^3$ REACTEUR TUBULAIRE

39-

30-

20-

10-

0 24

120

240

 $t(b.)$ garnissage anneaux raschig.

$$+: Q_1 = 936 \text{ ml/min}, \tau_1 = 106,5 \text{ s}, \bar{t}_s = 117,96 \text{ s}.$$

$$\circ: Q_2 = 700 \text{ ml/min}, \tau_2 = 142,2 \text{ s}, \bar{t}_s = 168,8 \text{ s}.$$

$$\circ: Q_3 = 500 \text{ ml/min}, \tau_3 = 199,03 \text{ s}, \bar{t}_s = 259,17 \text{ s}.$$

(graphes 1)

# REACTEUR TUBULAIRE

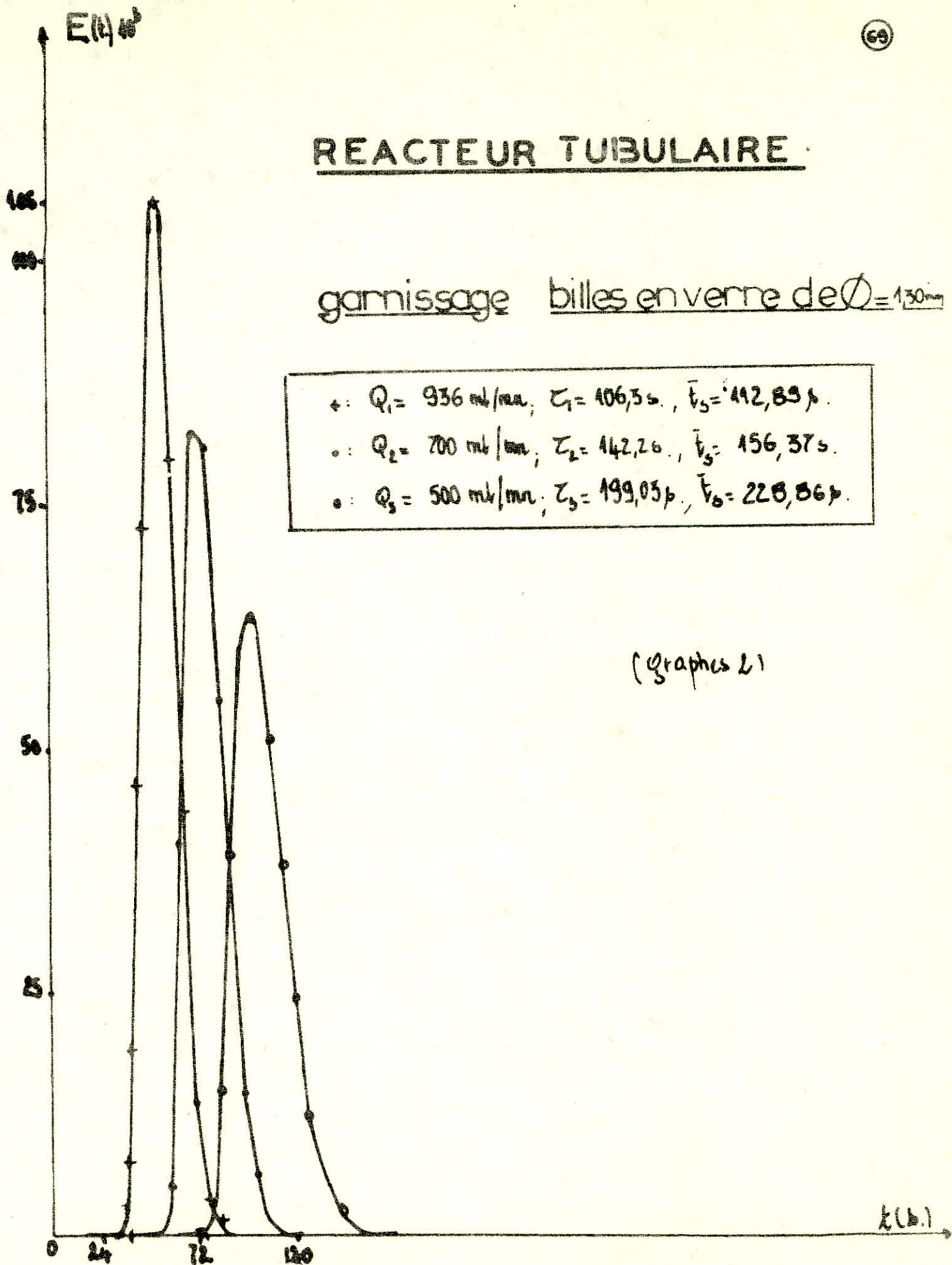
garnissage billes en verre de  $\varnothing = 130\text{mm}$

$$\leftarrow: Q_1 = 936 \text{ ml/min}, \tau_1 = 106,5 \text{ s}, \bar{t}_s = 112,89 \text{ s}.$$

$$\circ: Q_2 = 700 \text{ ml/min}, \tau_2 = 142,26 \text{ s}, \bar{t}_s = 156,37 \text{ s}.$$

$$\bullet: Q_3 = 500 \text{ ml/min}, \tau_3 = 199,03 \text{ s}, \bar{t}_s = 228,86 \text{ s}.$$

(Graphes L)



(tableau N°1)

billes en verre de $\varnothing_m = 1,3\text{mm}$				
$V_R = 1660\text{ml}$	$\tau_s (\text{s.})$	$a\tau_s (\text{s.})$	$a\tau_s (\%)$	$\bar{\tau}_s (\text{s.})$
$Q = 936\text{ml/mm}$	106,3	1,58	9,49	112,04
$Q = 700\text{ml/mm}$	142,2	2,84	8,0	157,57
$Q = 500\text{ml/mm}$	199,03	5,57	2,8	228,46

(tableau N°2)

billes en verre de $\varnothing_m = 1,3\text{mm}$ .						
$V_R = 1660\text{ml}$	$\tau_s (\text{s.})$	$\bar{\tau}_s (\text{s.})$	$1 - \frac{\bar{\tau}_s}{\tau_s} (\%)$	$Q_s (\text{ml/mm})$	$aQ_s (\text{ml/mm})$	$aQ_s (\%)$
$Q = 936\text{ml/mm}$	106,3	112,04	5,85	54,56	13,89	25,46
$Q = 700\text{ml/mm}$	142,2	157,57	9,01	63,09	13,07	20,72
$Q = 500\text{ml/mm}$	199,03	228,46	15,05	65,15	14,15	21,72

(Tableau 1)

anneaux raschig de $\phi = 5\text{ mm}$ .				
$V_R =$	$\tau (\text{s.})$	$\frac{\tau}{t} (\%)$	$\alpha \tau (\text{s.})$	$\bar{t}_c (\text{s.})$
$Q = 936 \text{ ml/mn.}$	106,3	1,49	1,58	117,46
$Q = 700 \text{ ml/mn.}$	142,2	2,0	2,84	168,8
$Q = 500 \text{ ml/mn.}$	199,03	2,8	5,57	259,17

(Tableau N°2)

anneaux raschig de $\phi = 5\text{ mm}$ .						
$V_R = 1660 \text{ ml.}$	$\tau (\text{s.})$	$\bar{t}_c (\text{s.})$	$1 - \frac{\tau}{\bar{t}_c} (\%)$	$Q_c (\text{ml/mn.})$	$\Delta Q_c (\text{ml/mn.})$	$\Delta Q_c / Q_c (\%)$
$Q = 936 \text{ ml/mn.}$	106,3	117,46	80,64	99,59	14,97	15,04
$Q = 700 \text{ ml/mn.}$	142,2	168,8	75,25	110,25	13,96	12,67
$Q = 500 \text{ ml/mn.}$	199,03	259,17	23,25	116,25	14,01	12,06

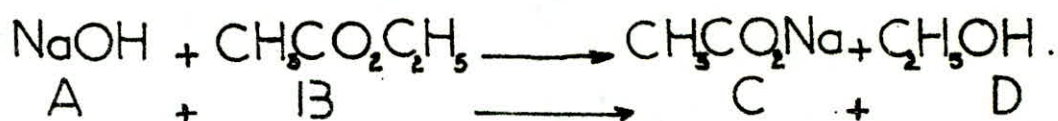
## IV.

# INFLUENCE DE L'ETAT DU MELANGE SUR LA REACTION DE SAPONIFICATION DE L'ACETATE D'ETHYLE.

## IV.1) Détermination des deux Etats Théorique :

### a) Micromélange Maximal:

soit la réaction de saponification d'acétate d'éthyle à 20°C.



La relation donnant la fraction restante de soude est :

$$\frac{C_A}{C_{A_0}} = \gamma = \frac{-1 + \sqrt{1 + 4kC_A\tau}}{2C_{A_0}\tau}$$

avec  $C_{A_0} = 0,1 \text{ mole/l}$  : Concentration initiale de Soude.  
(Nous avons pris un mélange équimolaire  $C_{A_0} = C_{B_0}$ )

$C_A$  = Concentration de la soude à la sortie du réacteur  
 $k = 6,77 \cdot 10^{-2} \text{ mole.l}^{-1}.s^{-1}$  (constante de vitesse donnée à 20°C par GIVAUDON  
 Les résultats sont représentés sur la figure N°1.

$\tau(s)$	230,12	303,71	430,8
$kC_A\tau$	1,55	2,43	2,91
$\gamma (%)$	54,21	49,32	43,86

## b) Macromélange:

$$\gamma = \frac{1}{\tau} \int_0^\infty \left( \frac{c_A}{c_{A0}} \right)_{R.F} \exp(-t/\tau) dt$$

Cette intégrale peut être calculer numériquement.  
L'intégration par partie de cette équation donne

$$\gamma = 1 + \int_1^0 \exp(1/k) \left[ \frac{\gamma_{R.F}-1}{\gamma_{R.F}} \right] dy_{R.F} \quad (1)$$

avec  $\gamma_{R.F} = \left( \frac{c_A}{c_{A0}} \right)_{R.F}$  et  $k = k c_{A0} \tau$ .

on pose  $F(\gamma_{R.F}) = \int_1^0 \exp(1/k) \left[ \frac{\gamma_{R.F}-1}{\gamma_{R.F}} \right] dy_{R.F}$

l'équation (1) devient:

$$\boxed{\gamma = 1 + F(\gamma_{R.F})}$$

Les résultats sont représentés par la figure N°1.

$\tau (\text{s.})$	230,12	307,71	430,8
$k c_{A0} \tau$	1,55	2,43	2,91
$\gamma (\%)$	60,68	59,37	48,72

## IV.2) Résultats Expérimentaux

### IV.2.1) Méthode Expérimentale:

Le réacteur agité est alimenté par deux courants liquide de même débit, l'un étant constitué d'une solution aqueuse d'acétate d'éthyle de concentration  $C_{B_0}$  et l'autre d'une solution aqueuse de soude de concentration  $C_{A_0}$ .

Les variations des paramètres de la réaction sont données par les tableaux ci-dessous.

#### Temps de passage (t)

$t$ (s)	230,12	307,71	430,8
---------	--------	--------	-------

#### Vitesse d'agitation (N)

$N$ (tours/min)	2000	1000	850
-----------------	------	------	-----

$$C_{A_0} = C_{B_0} = 0,1 \text{ mole/l.}$$

#### Mode Opératoire

- 1/ Alimenter le réacteur en soude et Acétate d'éthyle simultanément avec un même débit.
- 2/ Mettre en marche le moteur d'agitation à une vitesse fixée
- 3/ Mettre le conductimètre en marche.  
Mesurer la conductivité expérimentale  $\Lambda$  en régime permanent
- 4/ Par commodité de travail, garder la même vitesse d'agitation et faire varier les débits de soude et d'acétate d'éthyle.
- 5/ Balayer la gamme de vitesse en répétant les étapes précédentes.

6° Mesurer la conductivité de la solution initiale de soude

7° Mesurer la conductivité de l'acétate de sodium (lorsque tous les réactifs ont réagi  $x=1$ )

### Exploitation et interprétation des résultats:

les valeurs de conductivités sont données dans les tableaux ci-dessous.

\*  $N_1 = 2000$  tours/mn:

Temps de passage (s.)	230,12	307,71	430,8
Conductivité ( $\Lambda$ ) en ms.	8,2	7,8	7,9

\*  $N_2 = 1000$  tours/mn.

Temps de passage (s.)	230,12	307,71	430,8
Conductivité ( $\Lambda$ ) en ms.	8,1	7,7	7,65

\*  $N_3 = 850$  tours/mn.

Temps de passage (s.)	230,12	307,71	430,8
Conductivité ( $\Lambda$ ) en ms.	8	7,75	7,8

Conductivité de la solution de soude =  $\Lambda_0 = 41 \text{ ms}$  (76)  
 Conductivité de l'acétate de Sodium =  $\Lambda_\infty = 4,18 \text{ ms}$ .

La fraction de soude restante sera calculé par la formule suivante

$$Y = 1 - \frac{\Lambda_0 - \Lambda}{\Lambda_0 - \Lambda_\infty}$$

avec  $\Lambda$  : conductivité mesurée à la sortie du réacteur.  
 les résultats expérimentaux sont représentés par le figure N°1

A partir de ces figures, nous allons essayer de dégager l'influence des différents facteurs sur les effets de micromélange

\*  $N_1 = 2000 \text{ tours/mn.}$

$\tau(\text{s})$	230,12	307,71	430,8
$k_{CAO} \tau$	1,55	2,43	2,91
$Y(\%)$	58,9	53,06	53,80

\*  $N_2 = 1000 \text{ tours/mn.}$

$\tau(\text{s.})$	230,12	307,71	430,8
$k_{CAO} \tau$	1,55	2,43	2,91
$Y(\%)$	57,46	51,60	50,87

$N_3 = 850 \text{ tours/mn.}$

$\tau(\text{s.})$	230,12	307,71	430,8
$k_{CAO} \tau$	1,55	2,43	2,91
$Y(\%)$	56,00	52,33	53,00

### interprétation des résultats:

a) Vitesse d'agitation: (figure N°2).

Pour un temps de passage  $\tau_1 = 230,12 \text{ s}$ , on constate que l'augmentation de la vitesse d'agitation diminue le taux de conversion. Par contre dans les deux autres cas ( $\tau_2 = 307,71 \text{ s}$ ;  $\tau_3 = 430,8 \text{ s}$ ) le taux de conversion le plus grand est obtenu à une vitesse de 1000 tours/mn. comme le montrent les tableaux ci-dessous.

$T_1 = 230,12 \text{ s}$

N (tours/mn)	2000	1000	850
Y (%)	58,9	57,46	56,00

$T_2 = 307,71 \text{ s}$

N (tours/mn)	2000	1000	850
Y (%)	53,06	51,60	52,33

$T_3 = 430,8 \text{ s}$

N (tours/mn)	2000	1000	850
Y (%)	53,80	50,87	53,00

Ceci s'explique que pour une vitesse d'agitation forte ( $N=2000 \text{ trs/mn.}$ ) le phénomène de vortex apparaît et ruine la qualité du mélange comme le montrent les résultats de taux de conversions obtenus.

### b) Temps de passage:

Pour une vitesse forte ( $N=2000 \text{ hours/mn.}$ ) ou une vitesse faible ( $N=850 \text{ hours/mn.}$ ) la fraction de poudre (taux de conversion) plus faible (plus grande) est obtenue à un temps de passage de 307,71 s.

Par contre pour la vitesse d'agitation  $N=1000 \text{ hours/mn.}$  le fraction la plus faible est obtenue à un temps de passage de 430,8 s.

Comme le montrent les résultats groupés dans les tableaux ci-dessous.

$N_1 = 2000 \text{ trs/mn.}$

$T(\text{h})$	230,12	307,71	430,8
Y (%)	58,9	53,06	53,80

$N_3 = 850 \text{ hours/mn.}$

$T(\text{h})$	230,12	307,71	430,8
Y (%)	56,00	52,33	53,00

$$\bar{N}_2 = 1000 \text{ tours/mn}$$

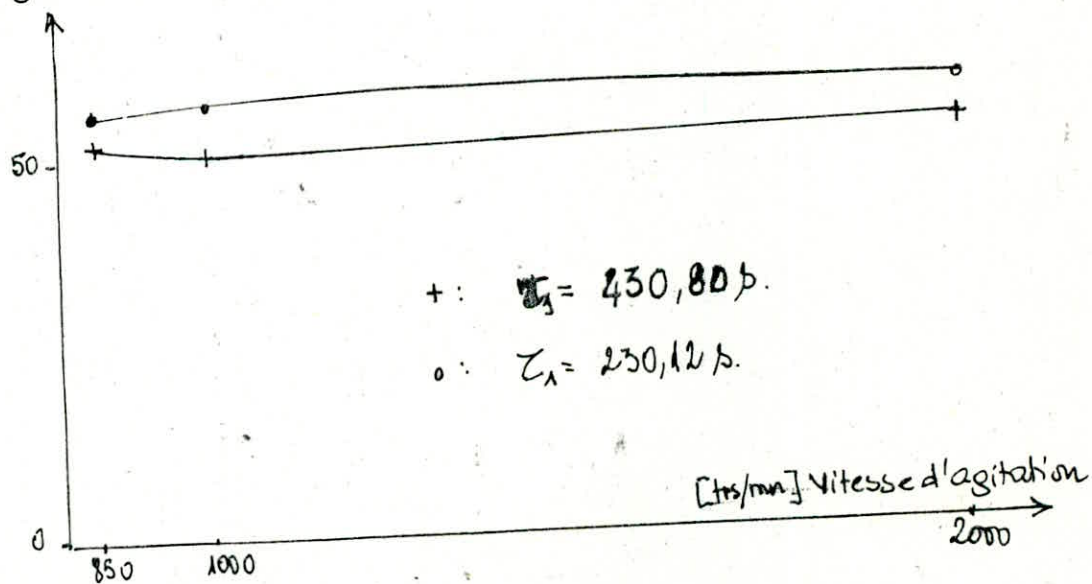
$\bar{Z} (\text{s.})$	230,12	307,71	430,8
$\gamma (\%)$	57,4	51,60	50,87

Ceci peut s'expliquer que pour des vitesses d'agitation fortes, ou des vitesses faibles, et des délais forts ou faibles, la qualité du mélange est mauvaise ce qui entraîne un taux de conversion faible.

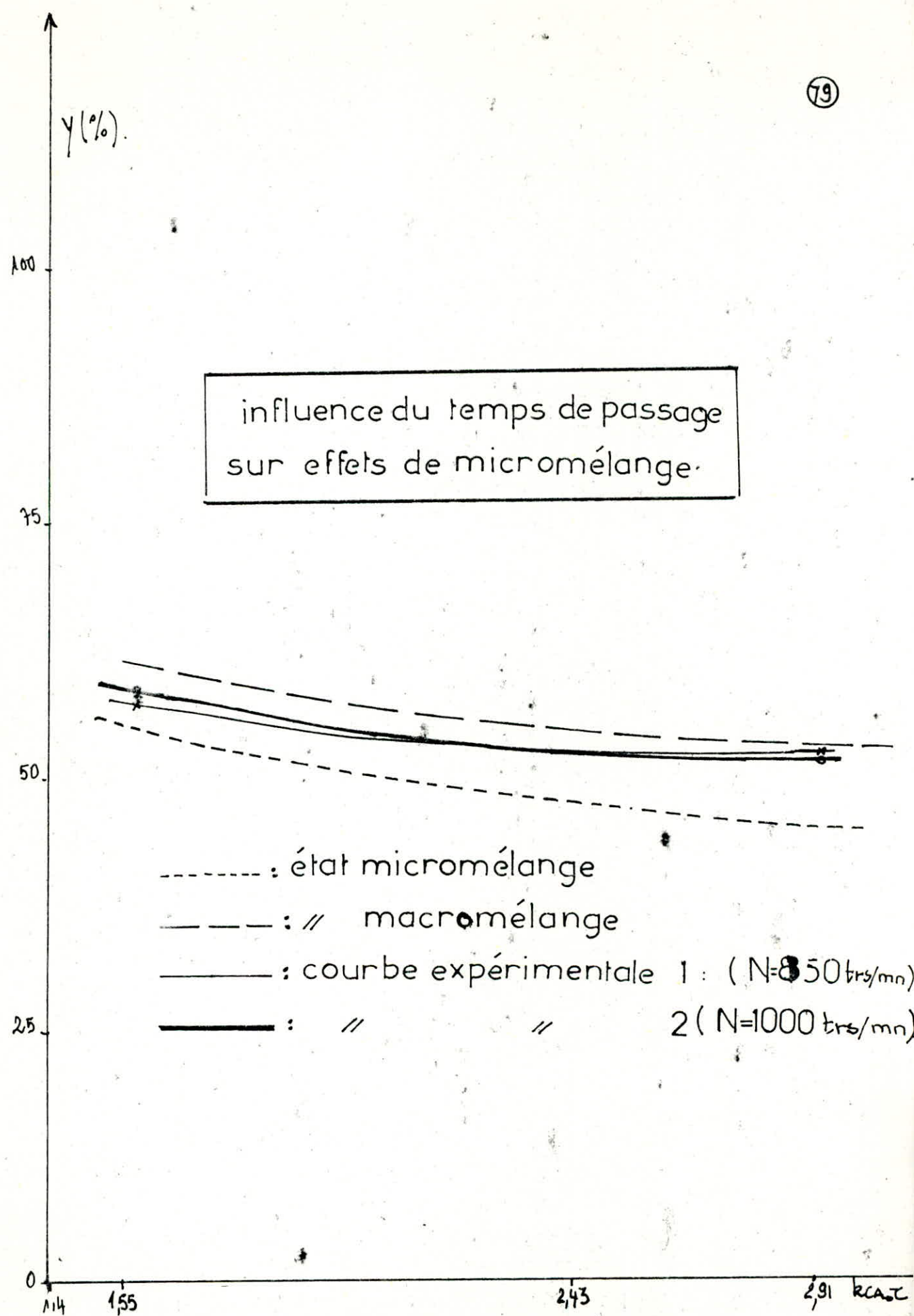
### Conclusion :

Pour des temps de passage plus faibles que  $\bar{Z} = 230,12 \text{ s}$ , l'augmentation de la vitesse d'agitation augmente la fraction de restante de boude (diminue le taux de conversion  $x_A$ ). Par contre en augmentant le temps de passage (elle perte) la courbe passe par un minimum.

On remarque l'influence que provoque la vitesse d'agitation sur le fraction restante de boude (taux de conversion) dépend fortement du temps de passage auquel se place. (figure ci-dessous).



(79)



[figure N° 1]

influence de la vitesse d'agitation  
sur les effets de micromélange

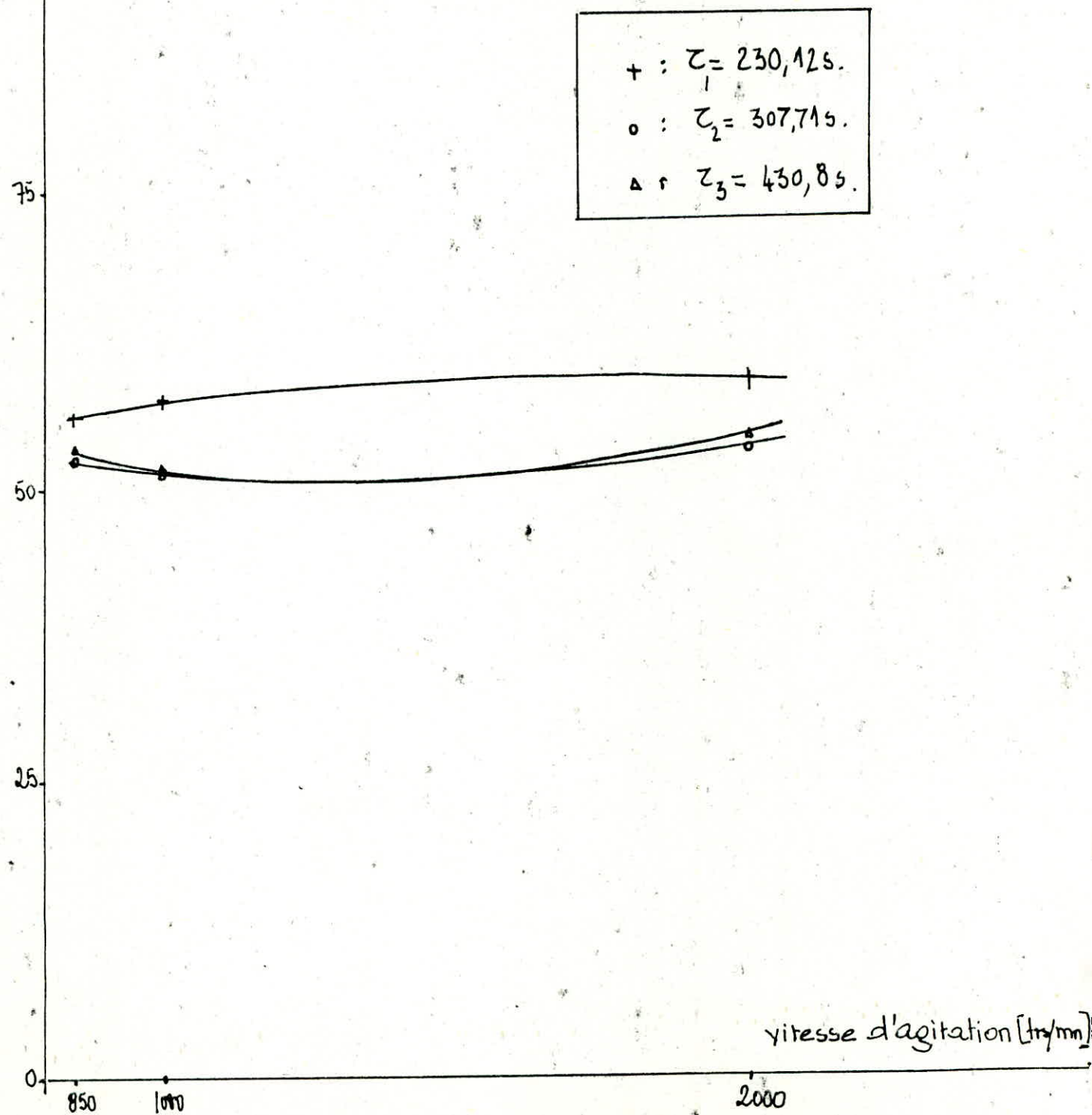


figure N°2

## V) CONCLUSION

(81)

Notre travail n'est qu'une contribution à l'étude du micromélange dans un processus non linéaire, car beaucoup de travaux restent à faire dans ce domaine.

On estime que l'objectif de départ a été atteint.  
à savoir : la conception de deux réacteurs continus permettant la poursuite d'une telle étude.

L'étude de l'influence des différents paramètres (vitesse d'agitation, temps de passage, garnissage) sur l'état du macromélange, nous a permis de déterminer l'optimum de :

- 6% de zones mortes dans le cas du réacteur agité.
- 6% de courts circuits dans le cas du réacteur tubulaire.

En ce qui concerne l'étude de micromélange, nous avons choisi une réaction de 2<sup>ème</sup> ordre qui est la saponification de l'acétate d'éthyle.

En général le phénomène de micromélange dépend de plusieurs facteurs (vitesse d'agitation, temps de passage, mode d'alimentation, viscosité des réactifs, ....) nous avons limité notre travail à dégager l'influence du temps de passage ( $\tau$ ) et de la vitesse d'agitation ( $N$ ) sur la conversion de la réaction.

des expériences faites dans un domaine de :

$$230,125 \leq \tau \leq 430,8 \text{ s.} \quad \text{et} \quad 850 \text{ trs/mn} \leq N \leq 2000 \text{ trs/mn}$$

ont montré que dans ces conditions que :

l'écart maximal des taux de conversions est de 6,6%.

- ANNEXES -

$$S = 975,8 \cdot 10^{-3} \text{ unités}, \tau = 230,12 \text{ s}, N_1 = 2000 \text{ trs/mn}$$

$$S = 9121,7 \cdot 10^{-3} \text{ unités}, \tau = 230,12 \text{ s}, N = 1000 \text{ trs/mn}$$

$t_i(\text{s})$	$C_i \cdot 10^3 \text{ mole/l}$	$E_i = C_i / S \cdot 10^2 (\text{l/s})$	$E_i \cdot t_i \cdot \Delta t$	$t_i(\text{s})$	$C_i \cdot 10^3 \text{ mole/l}$	$E_i = C_i / S \cdot 10^2 (\text{l/s})$	$E_i \cdot t_i \cdot \Delta t$
9,6	42	4,3		12	38,9	3,46	4,98
12	40,9	4,1	5,90	15	42,0	3,74	
24	36,9	3,7	10,65	24	38,9	3,46	9,96
36	33,1	3,3	14,25	36	34,9	3,11	13,43
48	29,40	3,0	17,28	48	31,5	2,80	16,28
60	26,2	2,6	18,72	60	28,5	2,54	18,28
72	23,3	2,3	19,87	72	25,2	2,24	19,35
84	19,7	2,0	20,16	84	22,4	1,99	20,05
96	16,8	1,7	19,85	96	18,8	1,67	19,23
108	14,0	1,4	18,59	108	16,35	1,45	18,79
120	11,4	1,1	15,94	120	13,3	1,19	17,13
132	8,6	0,8	12,67	132	11,5	1,02	16,15
144	6,8	0,7	12,09	144	8,7	0,77	13,3
156	4,5	0,46	8,63	156	6,5	0,56	10,48
168	2,5	0,25	5,04	168	4,3	0,38	7,66
180	1,1	0,11	2,37	180	2,5	0,22	4,75
192	0,75	0,08	1,84	192	1,1	0,09	2,07
204	0,65	0,06	1,46	204	0,5	0,05	1,22
216	0,5	0,05	1,29	216	0,35	0,03	0,77
228	0,4	0,04	1,09	228	0,3	0,02	0,54
			$\Sigma = 207,63 \text{ s}$				$\Sigma = 215,35 \text{ s}$

Exemple de calcul de temps de séjour expérimental pour un temps de passage  $\tau_1 = 230,12 \text{ s}$  (un débit  $Q_0 = 956 \text{ ml/mn}$ ) et des vitesses d'agitation:

$$\star N_1 = 2000 \text{ tours/mn} \quad \star N_2 = 1000 \text{ tours/mn}$$

$$\star N_1 = 2000 \text{ tours/mn} \Rightarrow \bar{t} = 207,63 \text{ s}$$

$$\star N_2 = 1000 \text{ tours/mn} \Rightarrow \bar{t} = 215,35 \text{ s}$$

$$S = 1696,32 \cdot 10^3 \text{ unites}; T = 430,85; N = 2000 \text{ Hz}$$

$E_i(s)$	$C_i \cdot 10^3 \text{ (mol/l)}$	$E_i \cdot 10^2 \text{ (J/s)}$	$E_i \cdot \Delta t \text{ (s.)}$	$E_i \cdot C_i \cdot 10^3 \text{ (mol/l)}$	$E_i \cdot C_i \cdot 10^2 \text{ (J/s)}$	$E_i \cdot C_i \cdot \Delta t \text{ (s.)}$
12	47,8	2,02	2,90	12	39,5	2,32
18	50,26	2,12		15	40	2,36
24	47,1	1,99	5,73	24	38,4	2,26
36	45	1,90	8,20	36	36,25	2,13
48	42,4	1,79	10,31	48	34,1	2,01
60	40,7	1,72	12,38	60	32,3	1,9
72	38,9	1,64	14,16	72	30,5	1,79
84	36,3	1,53	15,42	84	28,7	1,69
96	34,9	1,47	16,93	96	26,9	1,58
108	32,4	1,37	17,75	108	25,1	1,40
120	30,6	1,29	18,57	120	23,3	1,37
132	28,8	1,21	19,16	132	21,9	1,29
144	27	1,14	19,69	144	19,75	1,16
156	25,2	1,06	19,84	156	18,3	1,07
168	23,4	0,99	19,95	168	16,5	0,97
180	21,9	0,92	19,87	180	15,4	0,91
192	20,1	0,85	19,58	192	13,8	0,81
204	18,7	0,79	19,33	204	12,2	0,71
216	16,9	0,71	18,40	216	10,75	0,63
228	15,5	0,65	17,78	228	9,30	0,55
240	14	0,59	16,98	240	7,9	0,46
252	12,6	0,53	16,07	252	6,8	0,40
264	11,1	0,46	14,57	264	5,40	0,32
276	9,7	0,41	13,57	276	4,30	0,25
288	8,3	0,35	12,09	288	3,0	0,18
300	6,8	0,28	10,18	300	1,8	0,10
312	5,5	0,23	8,71	312	1,4	0,08
324	4,3	0,18	7	324	1,1	0,06
336	2,9	0,12	4,93	336	0,9	0,05
				348	0,7	0,040
				360	0,65	0,035
				372	0,5	0,030
				384	0,4	0,025
				396	0,35	0,020

$$\left\{ \begin{array}{l} \text{Calcul de } \bar{t}: \\ \bar{t} = 430,83 \end{array} \right\} \left\{ \begin{array}{l} \sum = 400,09 \text{ s} \\ N = 2000 \text{ Hz/mn} \\ N = 1000 \text{ trns/mn} \end{array} \right.$$

Exemple de calcul de temps de séjour expérimentale pour le réacteur tubulaire garni de billes en verre pour des temps de passage :  $\tau_1 = 106,3\text{ s}$   
 $\tau_2 = 199,03\text{ s}$ .

$S = 224,64 \cdot 10^2 \text{ unités} ; \tau = 106,3\text{ s.} \quad \Delta t = 6\text{ s.}$			
$t_i(\text{s.})$	$C_i \cdot 10^2 (\text{mole.l}^{-1})$	$E_i = C_i/S (1/s)$	$E_i \cdot t_i \cdot \Delta t (\text{s.})$
42	1,7	0,0075	1,89
48	16,3	0,0725	20,88
54	24,0	0,1068	34,60
60	17,9	0,0796	28,65
66	3,8	0,0436	17,26
72	3,7	0,0164	7,08
78	5,85	0,0038	1,78
$\Sigma$			$\Sigma = 812,81\text{ s.}$

$S = 349,92 \text{ unités} ; \tau = 199,03\text{ s.} \quad \Delta t = 6\text{ s.}$			
$t_i(\text{s.})$	$C_i \cdot 10^2 (\text{mole.l}^{-1})$	$E_i = C_i/S (1/s)$	$E_i \cdot t_i \cdot \Delta t (\text{s.})$
90	0,35	0,001	0,54
96	5,15	0,0147	8,47
102	14,8	0,0422	26,88
108	21,9	0,0625	40,55
114	22,3	0,0637	43,58
120	17,9	0,0511	36,82
126	13,3	0,038	28,72
132	8,5	0,0242	19,23
138	4,2	0,012	9,93
144	3	0,0085	7,40
150	1,65	0,0047	4,24
156	0,75	0,0021	2,0
162	0,40	0,0011	1,10
			$\Sigma = 628,46\text{ s.}$

$S = 384 \cdot 10^{-2}$ unités; $\tau = 199,03$ s.; $\Delta t = 6$ s				$S = 225,6 \cdot 10^{-2}$ unités; $\tau = 106,3$ s.; $\Delta t = 6$ s			
$t$ (s)	$C_i \cdot 10^2$ mole/l	$E = C_i/S \cdot 10^3$	$E_i \cdot t \cdot \Delta t$ (s.)	$t$ (s)	$C_i \cdot 10^2$ mole/l	$E_i = C_i/S \cdot 10^3$ (s.)	$E_i \cdot t \cdot \Delta t$ (s.)
108	0,85	2,28	1,49	54	0,35	1,55	0,50
114	1,0	5,38	3,67	60	2,8	12,41	4,46
120	3,3	8,88	6,39	66	5,8	25,7	10,17
126	4,7	12,65	9,56	72	7,9	35,23	15,22
132	6,2	16,68	13,21	78	8,7	38,56	18,04
138	7,25	19,51	16,15	84	8,3	36,79	18,54
144	7,6	20,45	17,66	90	6,8	30,14	16,27
150	8,1	21,80	19,62	96	5	22,16	12,76
156	8,0	21,53	20,15	102	3,5	15,51	9,49
162	7,7	20,72	20,14	108	2,2	9,75	6,31
168	7	18,84	18,99	114	1,25	5,54	3,8
174	6,4	17,22	17,97	120	0,6	2,65	1,90
180	5,6	15,07	16,27				
186	5,0	13,45	15,01				
192	4,1	11,17	12,86				
196	3,6	9,82	11,66				
204	2,9	7,80	9,54				
210	2,4	6,45	8,12				
216	2	5,38	6,97				
222	1,6	4,30	5,72				
228	1,1	3,09	4,22				
234	0,50	1,34	1,88				
240	0,35	0,9	1,35				
246	0,1	0,4	0,59				

$$\Sigma = 259,17 \text{ s.}$$

$$\Sigma = 117,46 \text{ s.}$$

Exemple de Calcul de temps de séjour expérimental  
pour le réacteur tubulaire garni d'anneaux raschig  
pour des temps de passage  $t_1 = 106,3$  s  
 $* \tau_2 = 199,03$  s.

## BIBLIOGRAPHIE

1) VILLERMAUX Jacques:

"réacteurs chimiques"  
techniques de l'ingénieur. 1980.

2) KLEIN Jean Paul:

thèse de docteur ingénieur INPL  
Nancy 1979

3) V KAFAROV:

"méthodes cybernétique. technologie  
chimique." 1972

4) LEVENSPIEL Octave:

"chemical reaction engineering"  
2<sup>nd</sup> edition. J.Wiley. New.York. 1972

6) P. WUITHIER:

le pétrole. "raffinage et génie chimique."  
tome II. 1972

7) HOLLAND et CHAPMAN:

liquid mixing and processing  
in stirred tanks  
reinhold publishing corporation New.York 1966.

8) JF Richardson JM Coulson

chémical engineering  
volume 3 2<sup>nd</sup> edition.

9) VINCENT W UHL JOSEPH B GRAY

mixing. "théorie and practice" volume 1.

- 10) J GIVAUDON  
précis du génie chimique 1960
- 11) K WINNACKER L KÜCHLER  
génie chimique. éditions eyrolles 1963
- 5) thèse de fin d'études de:  
MCHERIEF (1975)  
MCHEBAÏB

